

METODE DIRECTE PARALELE DE REZOLVARE A SISTEMELOR DE ECUAȚII LINIARE

Problema: rezolvarea sistemului $Ax = b$, unde A este o matrice $m \times n$, b este un vector m -dimensional, x este vectorul n -dimensional necunoscut.

0. Metode secvențiale acceptate:

- calcul pe bază de determinanți (pt. sisteme de dimensiuni mici),
- eliminare Gaussiană,
- factorizare (LU, QR),
- metode directe pentru sisteme cu matrice de formă specială (exemplu: substituție regresivă pentru sisteme triunghiulare).

1. Metode paralele de eliminare pentru matrice dense

A. Tehnica Gauss (secvențială), în doi pași:

1. reduce sistemul la forma tridiagonală ("reducere înainte")
2. se face o substituție regresivă ("substituție înapoi").

Exemplu: se consideră sistemul

$$\begin{cases} 2x_1 + 2x_2 + 4x_3 + 2x_4 = 76 \\ x_1 + 3x_2 + 2x_3 + x_4 = 52 \\ 3x_1 + 2x_2 + 2x_3 + x_4 = 57 \\ x_1 + x_2 + 3x_3 + 3x_4 = 64 \end{cases}$$

Pas 1: împarte prima ec. cu coef. x_1 și scade din celelalte ec. * cu un coef. a.î.
→ 0 pe coloana x_1 ...

Etapa 1:	Etapa 2:
$\begin{cases} x_1 + x_2 + 2x_3 + x_4 = 38 \\ +2x_2 + 0x_3 + 0x_4 = 14 \\ -x_2 - 4x_3 - 2x_4 = -57 \\ +0x_2 + x_3 + 2x_4 = 26 \end{cases}$	$\begin{cases} x_1 + x_2 + 2x_3 + x_4 = 38 \\ +x_2 + 0x_3 + 0x_4 = 7 \\ -4x_3 - 2x_4 = -50 \\ +x_3 + 2x_4 = 26 \end{cases}$
Etapa 3:	Etapa 4:
$\begin{cases} x_1 + x_2 + 2x_3 + x_4 = 38 \\ +x_2 + 0x_3 + 0x_4 = 7 \\ -4x_3 - 2x_4 = -50 \\ +x_3 + 2x_4 = 26 \end{cases}$	$\begin{cases} x_1 + x_2 + 2x_3 + x_4 = 38 \\ +x_2 + 0x_3 + 0x_4 = 7 \\ x_3 + 1/2x_4 = 25/2 \\ +3/2x_4 = 27/2 \end{cases}$

Pas 2: substituție regresivă

Etapa 1:	Etapa 2:
$x_4 = 9$	$x_3 = 25/2 - 1/2x_4 = 8$
Etapa 3:	Etapa 4:
$x_2 = 7 - 0x_3 - 0x_4 = 7$	$x_1 = 38 - x_2 - 2x_3 - x_4 = 6$

Pivotare = alegerea liniei „pivot” pe baza determinării max. în modul a elementelor de pe o coloană

Idee paralelism: liniile matricei sunt împărțite între procesoare și procesate concurrent + linia pivot este sticată într-o memorie globală.

Problemă: distribuție inegală dacă 1 linie → 1 procesor

Soluții:

1. procesor i conține linia $i + pq$ unde $p = nr.$ proc, q a.i. distribuție „egală” pe proc.

Ex: $m = n = 10, p = 3 \rightarrow$ proc 1. deține liniile 1, 4, 7, 10, proc. 2: 2, 5, 8, proc. 3: 3, 6, 9

2. scheme de eliminare:

Ex: două elemente marcate cu i dacă pot fi eliminate simultan la pasul i :

```

*
1 *
2 3 *
3 4 5 *
4 5 6 7 *
5 6 7 8 9 *
6 7 8 9 10 11*
7 8 9 10 11 12 13*
    
```

Operații pt. $m = n$:

1. algoritm secvențial: $\frac{1}{3}n^3 + \mathcal{O}(n^2)$.

2. algoritm paralel: $\mathcal{O}(n)$ multiplicări (în paralel) pentru triangularizare + $\mathcal{O}(n)$ multiplicări (in paralel) pentru substituție

.....

B. Tehnica Gauss-Jordan (secvențială), într-un pas:

1. reduce sistemul la forma diagonală

$$\begin{pmatrix} a_{11} & a_{12} & \dots & a_{1n} & b_1 \\ a_{21} & a_{22} & \dots & a_{2n} & b_2 \\ \vdots & \vdots & & \vdots & \vdots \\ a_{n1} & a_{n2} & \dots & a_{nn} & b_n \end{pmatrix} \xrightarrow{a_{11} \neq 0} \begin{pmatrix} 1 & a_{12}^{(1)} & \dots & a_{1n}^{(1)} & b_1^{(1)} \\ 0 & a_{22}^{(1)} & \dots & a_{2n}^{(1)} & b_2^{(1)} \\ \vdots & \vdots & & \vdots & \vdots \\ 0 & a_{n2}^{(1)} & \dots & a_{nn}^{(1)} & b_n^{(1)} \end{pmatrix} \xrightarrow{a_{22}^{(1)} \neq 0}$$

$$\begin{pmatrix} 1 & 0 & \dots & a_{1n}^{(2)} & b_1^{(2)} \\ 0 & 1 & \dots & a_{2n}^{(2)} & b_2^{(2)} \\ \vdots & \vdots & & \vdots & \vdots \\ 0 & 0 & \dots & a_{nn}^{(2)} & b_n^{(2)} \end{pmatrix} \xrightarrow{a_{33}^{(2)} \neq 0} \dots \xrightarrow{a_{nn}^{(n-1)} \neq 0} \begin{pmatrix} 1 & 0 & \dots & 1 & b_1^{(n)} \\ 0 & 1 & \dots & 1 & b_2^{(n)} \\ \vdots & \vdots & & \vdots & \vdots \\ 0 & 0 & \dots & 1 & b_n^{(n)} \end{pmatrix} \quad \begin{matrix} x_1 = b_1^{(n)} \\ x_2 = b_2^{(n)} \\ \vdots \\ x_n = b_n^{(n)} \end{matrix}$$

Exemplu: pt. sistem de mai sus

Etapa 1:	Etapa 2:
$\begin{cases} x_1 + x_2 + 2x_3 + x_4 = 38 \\ +2x_2 + 0x_3 + 0x_4 = 14 \\ -x_2 - 4x_3 - 2x_4 = -57 \\ +0x_2 + x_3 + 2x_4 = 26 \end{cases}$	$\begin{cases} x_1 + 2x_3 + x_4 = 31 \\ +x_2 + 0x_3 + 0x_4 = 7 \\ -4x_3 - 2x_4 = -50 \\ +x_3 + 2x_4 = 26 \end{cases}$
Etapa 3:	Etapa 4:
$\begin{cases} x_1 + 0x_4 = 6 \\ +x_2 + 0x_4 = 7 \\ -4x_3 - 2x_4 = -50 \\ +2x_4 = 26 \end{cases}$	$\begin{cases} x_1 = 38 \\ +x_2 = 7 \\ x_3 = 8 \\ 3/2x_4 = 27/2 \end{cases}$

Idee paralelism: un pas paralel constă din anihilarea simultană a coeficienților de pe fiecare linie alta decât linia pivot (considerat $\mathcal{O}(1)$ atunci întreg alg. necesită $\mathcal{O}(n)$ pași)

Operații pt. $m = n$:

1. algoritm secvențial: $\frac{1}{2}n^3 + \mathcal{O}(n^2) >$ decât alg. secv. Gauss
2. algoritm paralel: $\mathcal{O}(n) <$ decât alg. paralel Gauss

Concluzie:

1. algoritmii secvențiali „optimali” nu sunt întotdeauna „optimali” și în implementarea paralelă
2. întreaga teorie asupra optimalității algoritmilor dintr-o clasă dată trebuie reconsiderată în cazul implementării paralele
3. algoritmii optimali pt. implementări paralele pot fi algoritmi noi sau vechi, ineficienți în cazul secvențial.

Obs: pt. stabilitate numerică necesară o formă de pivotare.

2. Metode paralele de descompunere pentru matrice dense

A. Descompunerea LU (secvențială), în trei pași:

1. factorizare $A = LU$, L triunghiular inferioară, U superior triunghiulară și $l_{ii} = 1$, $|l_{ij}| < 1$
2. rezolvă $Ly = b$ („pas înainte”)
3. rezolvă $Ux = y$ („pas înapoi”).

Variantă cu permutare: $PA = LU$, $Ly = Pb$ și $Ux = y$.

Ex: în cazul sistemului de mai sus

$$L = \begin{pmatrix} 1 & 0 & 0 & 0 \\ 1/2 & 1 & 0 & 0 \\ 3/2 & -1/2 & 1 & 0 \\ 1/2 & 0 & -1/4 & 1 \end{pmatrix} \quad R = \begin{pmatrix} 2 & 2 & 4 & 2 & 76 \\ 0 & 2 & 0 & 0 & 14 \\ 0 & 0 & -4 & -2 & -50 \\ 0 & 0 & 0 & 3/2 & 27/2 \end{pmatrix}$$

Alg. secvențial:

for $j = \overline{1, n}$

for $k = \overline{1, j-1}$

următorul element în coloana lui U : $a_{kj} \rightarrow u_{kj} = a_{kj}/l_{kk}$

actualizează coloana j a lui A ,

coloana provizorie j a lui L este calculată în \underline{a}_j :

$$a_{.j} \rightarrow \underline{a}_j = a_{.j} - \underline{l}_{.k} u_{kj},$$

[Determină $p \in \{j, j+1, \dots, n\}$: $|a_{pj}| = \max_{j \leq i \leq n} |a_{ij}|$ (selectare pivot)

interschimbare linii: $a_j \leftrightarrow a_p$.]

actualizează coloana lui L : $a_{.j} \rightarrow l_{.j} = \underline{a}_j / (u_{jj})$

Obs: similar cu eliminarea gaussiană.

Idee parallelism: în factorizarea LU coloanele matricei A sunt distribuite pe proc.

(a) distribuție 1 coloană la 1 procesor (ineficient ca și în cazul eliminării gaussiene)

(b) distribuție pe blocuri

(c) distribuție în manieră ciclică

+ când un procesor face o descompunere celelalte aplică transformarea la col. lor.

Distribuție pe blocuri:

Fie $n = N$ coloane, $p = NP$ procesoare și $NCB = nr.$ coloane în bloc.

A este distribuit astfel:

$(N-1+NP)/NP$ columns	$(N-2+NP)/NP$ columns	...	N/NP columns
--------------------------	--------------------------	-----	-------------------

Processor 1

Processor 2

Processor NP

Etape:

fie $A^{(0)} = A$, $NB = \lceil N/NCB \rceil$;

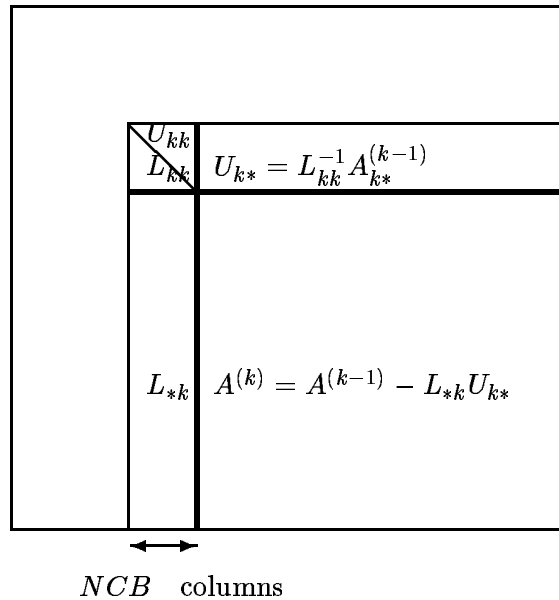
pentru $k = 1, \dots, NB$ execută

(a) calculează L_{kk} , U_{kk} , și L_{kk} prin factorizare LU locală utilizând elementele lui $A^{(k-1)}$;

(b) calculează L_{kk}^{-1} ;

(c) calculează $U_{k*} = L_{kk}^{-1} A_{kk}^{(k-1)}$;

(d) calculează $A^{(k)} = A^{(k-1)} - L_{*k} U_{k*}$.



Distribuție în manieră ciclică:

... de tip $\{\mu, \mu + p, \mu + 2p, \dots, \mu + (l - 1)p \leq n\}$.

Fiecare procesor p efectuează în pașii $k = 1, \dots, NB$ (NB=nr. blocuri):

Eu stochez blocul la pasul k ?

dacă da

- (a) calculează L_{kk}, U_{kk}, L_{*k} and L_{kk}^{-1} .
- (b) transmite L_{*k} și L_{kk}^{-1} la celelalte procesoare
- (c) calculează porțiunea din U_{k*} și $A^{(k)}$

altfel

- (a) primește L_{*k} și L_{kk}^{-1} trimis de procesor care efectuează ramura DA;
- (b) calculează porțiunea din U_{k*} și $A^{(k)}$.

Strategie divide-and-conquer

Alg. 1: pp. la pasul i :

1. se cunoaște factoriz. minorului principal de dim. $(i - 1)\omega$, $A_{i-1} = L_{i-1}U_{i-1}$.
2. se calculează următoarele ω linii ale lui L și ω coloane ale lui U și se calculează

$$A_i = \begin{pmatrix} A_{i-1} & C \\ B^T & H \end{pmatrix} = \begin{pmatrix} L_{i-1} & 0 \\ M^T & L_2 \end{pmatrix} \begin{pmatrix} U_{i-1} & G \\ 0 & U_2 \end{pmatrix}.$$

Etape:

- (a) rezolvă în G : $C \leftarrow L_{i-1}G = C$.
- (b) rezolvă în M : $B \leftarrow U_{i-1}^T M = B$.
- (c) $H \leftarrow H - M^T G$.
- (d) factorizează $H \leftarrow L_2 U_2 = H$.

Alg. 2: pp. la pasul i :

1. se cunosc primele $\varepsilon = (i - 1)\omega$ coloane ale lui L și ε linii ale lui U
2. se aplică transformarea matricei $A^i \in \mathbb{R}^{(n-\varepsilon) \times (n-\varepsilon)}$ din colț dreapta jos A
3. se produc următoarele ω coloane și linii ale lui L și U și se calculează A^{i+1} (generalizare a eliminării gaussiene) din:

$$A^i = \begin{pmatrix} A_{11} & A_{12} \\ A_{21} & A_{22} \end{pmatrix} = \begin{pmatrix} L_{11} & 0 \\ L_{21} & I \end{pmatrix} \begin{pmatrix} U_{11} & U_{12} \\ 0 & A^{i+1} \end{pmatrix}$$

Etape:

- (a) factorizează $A_{11} \leftarrow L_{11}U_{11} = A_{11}$.
 - (b) rezolvă în L_{21} : $A_{21} \leftarrow U_{11}^T L_{21}^T = A_{21}^T$.
 - (c) rezolvă în U_{12} : $A_{12} \leftarrow L_{11}U_{12} = A_{12}$.
 - (d) $A^{i+1} \leftarrow A_{22} - L_{21}U_{12}$.
-

B. Descompunerea LQ (secvențială), în doi pași:

1. factorizare $A = QR$, Q ortogonală ($Q^T Q = I$), R superior triunghiulară
2. rezolvă $Rx = Q^T b$

Idee: se fac zero (anihilează) elementele lui A de sub diagonală prin utilizarea unor „rotații”, adică matrice similare următoarei:

$$P = \begin{pmatrix} \cos \theta & \sin \theta \\ -\sin \theta & \cos \theta \end{pmatrix}$$

care nu distrug zerourile anterioare.

Alg. secvențial bazat pe rotații Givens:

For $r = \overline{1, n}$

calculează $Q_r = \prod_{i=0}^{m-r-1} Q_{m-i,r}$,

$$A_r = \left(\prod_{i=0}^{r-1} Q_{r-i} \right) A$$

unde $Q_{p,r}$, $p = p + 1, m =$ rotația Givens între liniile p și $p - 1$ pt. a face 0 elementul (p, r) a lui $\left(\prod_{i=1}^{p-r-1} Q_{p-i,r} \right) A_r$.

Atunci $R = A_n$, $Q^T = Q_n \cdots Q_1$, și $A = QR$.

Rotații Givens:

$$P_{k,l}^{(i,j)} = \begin{cases} \delta_{kl}, & \text{if } \{i, j\} \cap \{k, l\} = \emptyset \\ \cos(\theta), & \text{if } k = l = i \text{ or } k = l = j \\ \sin(\theta), & \text{if } k = i < l = j \text{ or } k = j < l = i, \\ -\sin(\theta), & \text{if } k = j > l = i \text{ or } k = i > l = j \end{cases}, \quad i \neq j$$

? θ : Se cere modificarea numai a liniilor i și $i - 1$ la eliminarea unui (i, j) . adică se schimbă numai

$$P \begin{pmatrix} a_{i-11} & a_{i-12} & \cdots & a_{i-1j} & \cdots & a_{i-1n} \\ a_{i1} & a_{i2} & \cdots & a_{ij} & \cdots & a_{in} \end{pmatrix}.$$

Atunci $-\sin \theta a_{i-1j} + \cos \theta a_{ij} = 0$ pt. ca val a_{ij} să devină \rightarrow

$$\sin \theta = \frac{a_{ij}}{\sqrt{a_{ij}^2 + a_{i-1j}^2}}, \quad \cos \theta = \frac{a_{i-1j}}{\sqrt{a_{ij}^2 + a_{i-1j}^2}}.$$

Idee paralelism: mai multe rotații sunt efectuate simultan.

Ex: dacă $n = m = 8$:

$$\begin{array}{cccccccc} x & & & & & & & \\ 3 & x & & & & & & \\ 2 & 5 & x & & & & & \\ 2 & 4 & 7 & x & & & & \\ 1 & 3 & 6 & 8 & x & & & \\ 1 & 3 & 5 & 7 & 9 & x & & \\ 1 & 2 & 4 & 6 & 8 & 10 & x & \\ 1 & 2 & 3 & 5 & 7 & 9 & 11 & x \end{array}$$

(un întreg r apare unde zerourile sunt create la pasul r)

Ordinea de anihilare: elementele mulțimii

$$S = \{(p, q) \mid 1 \leq q < p \leq m, q \leq n\},$$

pt. $m \geq n$, se numerotează astfel (p_k, q_k) , $k = \overline{1, mn - \frac{1}{2}n^2 - \frac{1}{2}n}$, în ordinea

$$(m, 1), (m-1, 1), \dots, (2, 1); (m, 2), (m-1, 2), \dots, (3, 2), \dots, \\ (m, n), (m-1, n), \dots, (n+1, n).$$

Se partiționează S în submulțimi S_r , $r = \overline{1, m+n-2}$ în ordinea

$$\{(m, 1)\}, \{(m-1, 1)\}, \{(m, 2), (m-2, 1)\}, \{(m-1, 2), (m-3, 1)\}, \\ \{(m, 3), (m-2, 2), (m-4, 1)\}, \dots$$

a.î. $S_r = \{(p, q) \mid 1 \leq q < p \leq m, q \leq n, m + 2q = p + r + 1\}$.

Rotațiile corespunzătoare unui S_r sunt disjuncte! și pot fi efectuate simultan.

Alte: reflecții Householder pt. anihilare componente vector.

.....

C. Descompunerea WZ (algoritm paralel!) în trei pași:

1. factorizare $A = WZ$, unde

$$W = \begin{pmatrix} 1 & & & & 0 & & & & 0 \\ w_{21} & 1 & & & & & & & 0 & w_{2n} \\ \vdots & & \ddots & & & & & & \vdots & \\ \vdots & & & 1 & & & & & \vdots & \\ \vdots & & & & \ddots & & & & \vdots & \\ w_{n-11} & 0 & & & & & & & 1 & w_{n-1n} \\ 0 & & & & 0 & & & & & 1 \end{pmatrix},$$

$$Z = \begin{pmatrix} z_{11} & & & & & z_{1n} \\ 0 & z_{22} & & & z_{2n-1} & 0 \\ \vdots & & \ddots & & & \vdots \\ \vdots & & & z_{ii} & & \vdots \\ \vdots & & & & \ddots & \vdots \\ 0 & & & & \cdots & 0 \\ z_{n1} & & & & & z_{nn} \end{pmatrix}$$

2. rezolvă $Wp = b$ („pas înainte”)

3. rezolvă $Zx = p$ („pas înapoi”).

Calcul factorizare:

Pas 1

(a) $z_{1j} = a_{1j}$, $z_{nj} = a_{nj}$, $j = \overline{1, n}$

(b) prima și ultima coloană a lui W se obțin din cele $n - 2$ sisteme 2×2 (în paralel)

$$\begin{cases} z_{11}w_{i1} + z_{n1}w_{in} = a_{i1} \\ z_{1n}w_{i1} + z_{nn}w_{in} = a_{in} \end{cases}$$

(c) se actualizează $A \leftarrow A - WE_1Z_1^T - W_nZ_n^T$ unde W_1 and W_n coloane W , Z_1^T și Z_n^T linii ale lui Z .

Pas k ($k = 1, \lfloor \frac{1}{2}(n+1) \rfloor$):

(a)

$$z_{hj} = a_{hj} - \left(\sum_{l=1}^{k-1} + \sum_{l=n-k+2}^n \right) w_{hl}z_{lj}, \quad h = k, n-k+1, \quad j = \overline{k, n-k+1}$$

(b) rezolvă pt. $i = \overline{k+1, n-k}$ ($n - 2k$ sisteme în paralel)

$$z_{kh}w_{ik} + z_{n-k+1h}w_{in-k+1} = a_{ih} - \left(\sum_{l=1}^{k-1} + \sum_{l=n-k+2}^n \right) w_{il}z_{lh}.$$

Calcul $Wp = b$:

$$\begin{pmatrix} 1 & & & & 0 & & & & 0 \\ w_{21} & 1 & & & & & & & 0 \\ \vdots & & \ddots & & & & & & w_{2n} \\ \vdots & & & & & & & & \vdots \\ \vdots & & & & 1 & & & & \vdots \\ \vdots & & & & & & \ddots & & \vdots \\ w_{n-11} & 0 & & & & & & & 1 \\ 0 & & & & & & & & w_{n-1n} \\ & & & & 0 & & & & 1 \end{pmatrix} \begin{pmatrix} p_1 \\ p_2 \\ \vdots \\ p_{n-1} \\ p_n \end{pmatrix} = \begin{pmatrix} b_1 \\ b_2 \\ \vdots \\ b_{n-1} \\ b_n \end{pmatrix}$$

Pas 1: calcul p_1 și p_n first

Pas i : calcul

$$p_i = b_i^{(i)}, \quad p_{n-i+1} = b_{n-i+2}^{(i)}$$

unde

$$b_j^{(1)} = b_j \text{ and } b_j^{(i+1)} = b_j^{(i)} - w_{ij}p_i - w_{jn-i+1}p_{n-i+1}, \quad j = \overline{i+1, n-i}$$

Calcul $Zx = p$ similar.

3. Metode paralele pentru sisteme tridiagonale

$$\begin{pmatrix} a_1 & b_1 & & & \\ c_2 & a_2 & b_2 & & \\ & \ddots & \ddots & \ddots & \\ & & & c_n & a_n \end{pmatrix} \begin{pmatrix} x_1 \\ x_2 \\ \vdots \\ x_n \end{pmatrix} = \begin{pmatrix} d_1 \\ d_2 \\ \vdots \\ d_n \end{pmatrix}.$$

A. Descompunere LU

Linia i a lui L : $(0, \dots, 0, l_i, 1, 0, \dots, 0)$; linia i a lui U : $(0, \dots, 0, u_i, b_i, 0, \dots, 0)$ unde $u_i = a_i - c_i b_{i-1} / u_{i-1}$

Algoritm vectorial:

$$\begin{aligned} t_i &= c_i b_{i-1} \text{ (operație vectorială - în paralel)} \\ d_1 &= 1/a_1 \\ d_i &= 1/(a_i - t_i d_{i-1}), \\ l_i &= c_i d_{i-1} \text{ (operație vectorială - în paralel)} \end{aligned}$$

Dublare recursivă:

$$\begin{aligned} q_0 &= 1, \quad q_1 = b_1, \quad q_i = b_i q_{i-1} - c_i a_{i-1} q_{i-2}, \quad i = \overline{2, n}. \\ u_i &= q_i / q_{i-1}, \quad i = \overline{1, n}. \end{aligned}$$

$$Q_i = \begin{pmatrix} q_i \\ q_{i-1} \end{pmatrix} = \begin{pmatrix} b_i & -c_i a_{i-1} \\ 1 & 0 \end{pmatrix} \begin{pmatrix} q_{i-1} \\ q_{i-2} \end{pmatrix} = G_i Q_{i-1} = \left(\prod_{j=2}^i G_j \right) Q_1 = S_i Q_1$$

Calcul paralel S_i prin dublare recursivă.

B. Reducere ciclică (reducere par-impair)

Idee: se elimină variabilele impare din ecuațiile numerotate cu nr. par. Pp. $R(2i)$ linia $2i$ a matricei A . Atunci:

$$R(2i) - (c_{2i}/a_{2i-1}) * R(2i-1) - (b_{2i}/a_{2i+1}) * R(2i+1)$$

$$c_{i-1}x_{i-2} + a_{i-1}x_{i-1} + b_{i-1}x_i = d_{i-1}, \quad (1)$$

$$c_i x_{i-1} + a_i x_i + b_i x_{i+1} = d_i, \quad (2)$$

$$c_{i+1}x_i + a_{i+1}x_{i+1} + b_{i+1}x_{i+2} = d_{i+1}, \quad (3)$$

Scădere (2) din (1) și (3) înmulțite a.î. se obțin 0 la coef. x_{i-1} și x_{i+1} :

$$c_i^{(1)} x_{i-2} + a_i^{(1)} x_i + b_i^{(1)} x_{i+2} = d_i^{(1)}.$$

Același procedeu:

$$c_i^{(2)} x_{i-4} + a_i^{(2)} x_i + b_i^{(2)} x_{i+4} = d_i^{(2)},$$

Se consideră $x_i = b_i = c_i = y_i = 0$ și $a_i = 1$ când $i < 0$, $i > n$.

După $k = \lceil \log_2 n \rceil$ pași $a_i^{(k)} x_i = d_i^{(k)}$.

C. Divide-and-conquer

Algoritm 1. $m = n = pq$:

1. subdivizare în p subprobleme

2. rezolvarea în paralel a celor p subprobleme de dimensiune q

Ex: $n = 9$ $p = q = 3$

$$\begin{pmatrix}
 b_1 & c_1 & & & & & & & \\
 a_2 & b_2 & c_2 & & & & & & \\
 & a_3 & b_3 & c_3 & & & & & \\
 & & a_4 & b_4 & c_4 & & & & \\
 & & & a_5 & b_5 & c_5 & & & \\
 & & & & a_6 & b_6 & c_6 & & \\
 & & & & & a_7 & b_7 & c_7 & \\
 & & & & & & a_8 & b_8 & c_8 \\
 & & & & & & & a_9 & b_9
 \end{pmatrix}
 \rightarrow
 \begin{pmatrix}
 b_1 & c_1 & & & & & & & \\
 & b'_2 & c'_2 & & & & & & \\
 & & b'_3 & c'_3 & & & & & \\
 & & & a_4 & b_4 & c_4 & & & \\
 & & & & a'_5 & & b'_5 & c'_5 & \\
 & & & & & a'_6 & & b'_6 & c'_6 \\
 & & & & & & & a_7 & b_7 & c_7 \\
 & & & & & & & & a'_8 & \\
 & & & & & & & & & a'_9 & \\
 & & & & & & & & & & b'_8 & c'_8 \\
 & & & & & & & & & & & b'_9
 \end{pmatrix}
 \rightarrow
 \begin{pmatrix}
 b''_1 & c''_1 & & & & & & & \\
 & b'_2 & c'_2 & & & & & & \\
 & & b''_3 & c''_3 & & & & & \\
 & & & a''_4 & b''_4 & c''_4 & & & \\
 & & & & a'_5 & & b'_5 & c'_5 & \\
 & & & & & a''_6 & & b''_6 & c''_6 & \\
 & & & & & & & a''_7 & b''_7 & c''_7 & \\
 & & & & & & & & a'_8 & & b'_8 & c'_8 \\
 & & & & & & & & & a'_9 & & b'_9
 \end{pmatrix}$$

Transformările se aplică și asupra vectorului termenilor liberi.

Sisteme: în (x_1, x_4, x_7) , (x_2, x_5, x_8) , (x_3, x_6, x_9) , de exemplu:

$$\begin{pmatrix} b''_3 & c''_3 & \\ a''_6 & b''_6 & c''_6 \\ a'_9 & b'_9 & \end{pmatrix} \begin{pmatrix} x_3 \\ x_6 \\ x_9 \end{pmatrix} = \begin{pmatrix} d''_3 \\ d''_6 \\ d''_9 \end{pmatrix}.$$

4. Metode paralele pentru sisteme triunghiulare

Sistem linear recurent $R < n, m >$ de ordin m pt. n ecuații:

$$R < n, m >: \quad x_k = \begin{cases} 0, & \text{if } k \leq 0 \\ b_k + \sum_{j=k-m}^{k-1} a_{kj} x_j, & \text{if } 1 \leq k \leq m \end{cases} \quad m \leq n - 1$$

adică $x = Ax + b$ cu A triunghiular strict inferior.

Un sistem triunghiular $\bar{A}x = \bar{b}$ poate fi scris $(I - A)x = b$, unde $a_{ij} = \delta_{ij} - \bar{a}_{ij}/\bar{a}_{ii}$ and $b_i = \bar{b}_i/\bar{a}_{ii}$, $i, j = \overline{1, n}$. Atunci $x = Ax + b$.

A. Algoritmul de schimbare a coloanei

Pas 1 evaluează în paralel $b_i^{(1)} = b_i + a_{i1}x_1$, pt. $i = \overline{2, n}$, unde $x_1 = b_1$ este cunoscut.

Pas 2 evaluează în paralel $b_i^{(2)} = b_i^{(1)} + a_{i2}x_2$, for $i = \overline{3, n}$, unde x_1 și x_2 sunt cunoscute

⋮

Pas k evaluează în paralel $b_i^{(k)} = b_i^{(k-1)} + a_{ik}x_k$, for $i = \overline{k+1, n}$, unde x_1, \dots, x_k sunt cunoscute.

⋮

Un sistem $n \times n$ necesită $n - 1$ pași și $n - 1$ proc. la primul pas și mai puține după.

Operații: $\mathcal{O}(n)$ pași pt. rezolvare sistem triunghiular $n \times n$ utilizând $\mathcal{O}(n)$ proc.

.....

B. Algoritmul produsului recurent (dublare recursivă)

$x = (I - A)^{-1}b$, unde A este triunghiular strict inferioară.

Obs:

$$(I - A)^{-1} = \prod_{i=1}^{n-1} M_{n-i}$$

$$M_i = \begin{pmatrix} 1 & & & & 0 \\ & \ddots & & & \\ & & 1 & & \\ & & a_{i+1i} & 1 & \\ 0 & & \vdots & & \ddots \\ & & a_{ni} & 0 & 1 \end{pmatrix}.$$

Ex:

$$\begin{cases} x_1 = b_1 \\ x_2 = b_2 + a_{21}x_1 \\ x_3 = b_3 + a_{31}x_1 + a_{32}x_2 \\ x_4 = b_4 + a_{42}x_2 + a_{43}x_3 \end{cases}$$

Atunci

$$\begin{pmatrix} x_1 \\ x_2 \\ x_3 \\ x_4 \end{pmatrix} = \begin{pmatrix} 1 & 0 & 0 & 0 \\ -a_{21} & 1 & 0 & 0 \\ -a_{31} & -a_{32} & 1 & 0 \\ 0 & -a_{42} & -a_{43} & 1 \end{pmatrix}^{-1} \begin{pmatrix} b_1 \\ b_2 \\ b_3 \\ b_4 \end{pmatrix} =$$

$$= \begin{pmatrix} 1 & 0 & 0 & 0 \\ 0 & 1 & 0 & 0 \\ 0 & 0 & 1 & 0 \\ 0 & 0 & a_{43} & 1 \end{pmatrix} \begin{pmatrix} 1 & 0 & 0 & 0 \\ 0 & 1 & 0 & 0 \\ 0 & a_{32} & 1 & 0 \\ 0 & a_{42} & 0 & 1 \end{pmatrix} \begin{pmatrix} 1 & 0 & 0 & 0 \\ a_{21} & 1 & 0 & 0 \\ a_{31} & 0 & 1 & 0 \\ 0 & 0 & 0 & 1 \end{pmatrix} \begin{pmatrix} b_1 \\ b_2 \\ b_3 \\ b_4 \end{pmatrix}.$$

(5 pași în paralel)

$\prod_{i=1}^{n-1} M_{n-i}$ poate fi calculat în $\mathcal{O}((\log_2 n)^2)$ pași prin tehnica dublării recursive.

Ex: $n = 8$: $(M_8(M_7(M_6(M_5(M_4(M_3(M_2f)))))))$ prin $((((N_7N_6)(N_5N_4))((N_3N_2)(N_1f))))$.

Operații: $\mathcal{O}((\log_2 n)^2)$ pași utilizând $\mathcal{O}(n^3)$ procesoare.

.....

C. Tehnica partiționării (divide-and-conquer)

Obs: dacă

$$A = \begin{pmatrix} A_1 & 0 \\ A_2 & A_3 \end{pmatrix},$$

cu A_1 și A_2 inferior triunghiulare, A_2 densă, atunci

$$A^{-1} = \begin{pmatrix} A_1^{-1} & 0 \\ -A_3^{-1}A_2A_1^{-1} & A_3^{-1} \end{pmatrix}.$$

Etape:

(a) inversare simultană A_1 și A_3 și rezolvă $A_3Y = A_2$ în Y

(b) multiplică Y și A_1^{-1} .

Operații: $\mathcal{O}((\log_2 n)^2)$ pași cu $\mathcal{O}(n^2)$ procesoare.

5. Metode paralele pentru sisteme cu matrice bandă sau rare

- eliminare Gaussiană sau Gauss-Jordan
- partiționare pe blocuri
- reducere Givens
- descompunere LU

METODE ITERATIVE PARALELE DE REZOLVARE A SISTEMELOR DE ECUAȚII LINIARE

Problema: rezolvarea sistemului $Ax = b$, unde A este o matrice $m \times n$, b este un vector m -dimensional, x este vectorul n -dimensional necunoscut.

0. Metode secvențiale acceptate:

1. Metode de relaxare

Idee: $A = G - H$, $Ax^* = b \Leftrightarrow Gx^* = b + Hx^*$

Metoda de relaxare=met. iterațiilor simple: $Gx^{(k+1)} = b + Hx^{(k)}$ dacă $\exists G^{-1}$

Eroare: $v^{(k)} = x^* - x^{(k)}$ satisface $v^{(k+1)} = G^{-1}Hv^{(k)} = (G^{-1}H)^{k+1}v^{(0)}$.

Matricea iterației: $M = G^{-1}H$

Factor de convergență a metodei – raza spectrală a lui M : $\rho(G^{-1}H)$ (val. proprie maximă în modul)

$$\text{if } \rho(G^{-1}H) < 1 \text{ then } \forall v^{(0)} \in \mathbb{R}^m : \lim_{k \rightarrow \infty} (G^{-1}H)^k v^{(0)} = 0$$

Caz particular: $A = D - L - U$, $D = \text{diag}(D)$, L strict inferior triunghiulară, U strict superior triunghiulară:

$$d_{ij} = \begin{cases} a_{ij} & i = j \\ 0, & \text{altfel} \end{cases} \quad l_{ij} = \begin{cases} -a_{ij} & i < j \\ 0, & \text{altfel} \end{cases} \quad u_{ij} = \begin{cases} -a_{ij} & i > j \\ 0 & \text{altfel} \end{cases}$$

$$Ax = b \Leftrightarrow Dx = (L + U)x + b \text{ sau } (D - L)x = Ux + b$$

(a) Metoda Jacobi (J): $A = G_J - H_J$, $G_J = D$, $H_J = -(L + U)$

$$Dx_J^{(k+1)} = (L + U)x_J^{(k)} + b \Leftrightarrow$$

$$x_J^{(k+1)} = D^{-1}(D - A)x_J^{(k)} + D^{-1}b = x_J^{(k)} - D^{-1}(Ax_J^{(k)} - b)$$

Condiția de convergență: raza spectrală $\rho(D^{-1}(L + U)) < 1$ adică A este strict diagonal dominant

(b) Metoda Gauss-Seidel (GS) (mai rapidă decât J): $A = G_{GS} - H_{GS}$, $G_{GS} = D + L$, $H_{GS} = -U$.

$$x_{GS}^{(k+1)} = (D - L)^{-1}Ux_{GS}^{(k)} + (D - L)^{-1}b = x_{GS}^{(k)} - (D - L)^{-1}(Ax_{GS}^{(k)} - b)$$

Condiția de convergență îndeplinită dacă A =matrice simetrică pozitiv-definită

(c) Metoda suprarelaxării succesive (SOR): îmbunătățirea cond. converg. GS prin $A = G_{SOR} - H_{SOR}$, $G_{SOR} = (D + \omega L)/\omega$, $H_{SOR} = ((1 - \omega)D - \omega U)/\omega$:

$$x_{SOR}^{(k+1)} = (1 - \omega)x_{SOR}^{(k)} + \omega x_{GS}^{(k+1)}, \quad \omega \in [0, 2] \text{ factor de supra-relaxare}$$

$$Dd_1^{(k)} = D(x^{(k+1)} - x^{(k)}) = Lx^{(k+1)} + Ux^{(k)} - Dx^{(k)} + b$$

$$d^{(k)} = \omega d_1^{(k)}$$

$$x^{(k+1)} - x^{(k)} = \omega D^{-1}(Lx^{(k+1)} + Ux^{(k)} - Dx^{(k)} + b).$$

$$x^{(k+1)} = \omega D^{-1}Lx^{(k+1)} + [(1 - \omega)I + \omega D^{-1}U]x^{(k)} + \omega D^{-1}b$$

$$(D + \omega L)x^{(k+1)} = \omega b + ((1 - \omega)D - \omega U)x^{(k)}.$$

Condiția de convergență: $0 < \omega < 2$

Optim ω minimizează raza spectrală a matricei de conv. SOR:

$$\omega_b = 2/(1 + \sqrt{1 - \rho^2(B)}), \quad B = I - D^{-1}A$$

(d) Metoda JOR: îmbunătățirea cond. converg. met. J:

$$x^{(k+1)} - x^{(k)} = \omega D^{-1}[(L + U)x^{(k)} + b - Dx^{(k)}]$$

$$x^{(k+1)} = [\omega D^{-1}(L + U) + (1 - \omega)]x^{(k)} + \omega D^{-1}b, \quad k \geq 0$$

cu ω factor de sub-relaxare

Optim ω : fie $B = I - D^{-1}A$ și $m(B)$, $M(B)$ val. proprie minimă/maximă a lui B ($\rho(B) = \max(|m(B)|, |M(B)|)$)

$$m(B_\omega) = \omega m(B) + 1 - \omega, \quad M(B_\omega) = \omega M(B) + 1 - \omega$$

ω =optim când $m(B_\omega) = -M(B_\omega)$ adică $\omega = 2/(2 - m(B) - M(B))$.

(e) Metoda SSOR (symmetric successive over relaxation method) alternează pași SOR „înainte” și „înapoi”: $A = G_{SSOR} - H_{SSOR}$, $G_{SSOR} = \frac{1}{\omega(2-\omega)}(D + \omega L)D^{-1}(D + \omega U)$, $H_{SSOR} = \frac{1}{\omega(2-\omega)}((1 - \omega)D - \omega L)D^{-1}((1 - \omega)D - \omega U)$.

$$(D + \omega L)x^{(k+1/2)} = \omega b + ((1 - \omega)D - \omega U)x^{(k)}$$

$$(D + \omega U)x^{(k+1)} = \omega b + ((1 - \omega)D - \omega L)x^{(k+1/2)}$$

Condiția de convergență îndeplinită dacă A =simetrică și pozitiv definită și $0 < \omega < 2$.

2. Metode de tip gradient – ex: metoda gradientului conjugat

Idee: fie $\mathcal{F}(x) = \frac{1}{2}x^T A x - x^T b$, $A \in \mathbb{R}^{m \times m}$ simetrică și pozitiv-definită

$$x^* : \mathcal{F}(x^*) = \min_{x \in \mathbb{R}^n} \mathcal{F}(x) \quad \Leftrightarrow Ax = b$$

$$\forall k \geq 0, \quad x_{k+1} = x_k + \frac{p_k^T p_k}{p_k^T A p_k} p_k.$$

? p_k . Ex:

(a) metoda pasului descendent: $p_k = r_k = b - Ax_k$

(b) vectori A -conjugăți: $p_k^T A p_j = 0$, if $k \neq j$

$$x_{k+1} = x_k + \varepsilon_k p_k, \quad p_{k+1} = \lambda_k (A p_k - \mu_k p_k - \nu p_{k-1})$$

$$\varepsilon_k = \frac{p_k^T r_0}{p_k^T A p_k}, \quad \mu_k = (A p_k)^T A p_k / (p_k^T A p_k), \quad \nu = (A p_k)^T A p_{k-1} / (p_{k-1}^T A p_{k-1}),$$

$\lambda_k =$ factor de scalare

Convergență: funcție de nr. de condiție a lui A (mic \rightarrow converg. rapidă)

Obs:

- îmbunătățire convergență prin rezolvare problemă nouă în care $A \rightarrow M^{-1}A$ – metode cu preconditionare (ex: $M = LL^T$ unde L din factorizare $A = LU$)
- terminare în număr finit de pași

1. Metode paralele:

1. *paralelizare* J, JOR, GS, SOR, SSOR (obs: prin natura lor secvențiale!):

(a) *distribuirea efort de calcul per componente* ale vectorului iter. Jacobi

(b) *metoda alb-negru* asociată cu GS, SOR, SSOR:

- se colorează componentele vectorului x alternativ în alb-negru;
- componentele negre sunt primele actualizate, utilizând componentele albe anterioare
- componentele albe sunt actualizate folosind ultimele valori negre
- comp. negre sunt actualizate la un nivel de iterație, cele albe la următorul nivel de iterație
- după o iterație, negrele sunt la nivel 1, albele la nivel 2
- paralelizare prin asignare grupuri de albe, respectiv negre, la proc. diferite
- iterație până când are loc condiția de acuratețe: $|x_j^{(k+1)} - x_j^{(k)}| < \varepsilon, \forall j$

2. *noi metode de relaxare* – ex: QDP (quadrant - diagonal partitioning) or QI (Quadrant Interlocking) similară SOR: $A = X - W - Z$

$$x_{ij} = \begin{cases} 0, & \text{if } i \neq j \text{ and } i \neq n - j + 1 \\ a_{ij}, & \text{otherwise} \end{cases}$$

$$w_{ij} = \begin{cases} 0, & \text{if } i \leq j \leq n - i + 1 \text{ or } n - i + 1 \leq j \leq i \\ -a_{ij}, & \text{otherwise} \end{cases}$$

$$z_{ij} = \begin{cases} 0, & \text{if } j \leq i \leq n - j + 1 \text{ or } n - j + 1 \leq i \leq j \\ -a_{ij}, & \text{otherwise} \end{cases}$$

$$X = \begin{bmatrix} \diagdown & & \\ & \diagup & \\ & & \diagdown \end{bmatrix} \quad W = \begin{bmatrix} \diagdown & & \\ & \diagup & \\ & & \diagdown \end{bmatrix} \quad Z = \begin{bmatrix} \diagdown & & \\ & \diagup & \\ & & \diagdown \end{bmatrix}_{\text{æ}}$$

(a) Jacobi QDP: $Xx^{(k+1)} = (W + Z)x^{(k)} + b$. Convergență: dacă A este ireductibil și diagonal dominant.

- (b) Gauss-Seidel QDP: $(X - W)x^{(k+1)} = Zx^{(k)} + b$. Convergență: dacă A este ireductibil și slab diagonal dominant.
- (c) tip suprarelexare Jacobi și SOR: JOQI și SOQI

$$x^{(k+1)} = [\omega X^{-1}(W + Z) + (1 - \omega)I]x^{(k)} + d, \quad k = 0, 1, \dots$$

$$x^{(k+1)} = (X - \omega W)^{-1}[\omega Z + (1 - \omega)X]x^{(k)} + d, \quad k = 0, 1, \dots$$

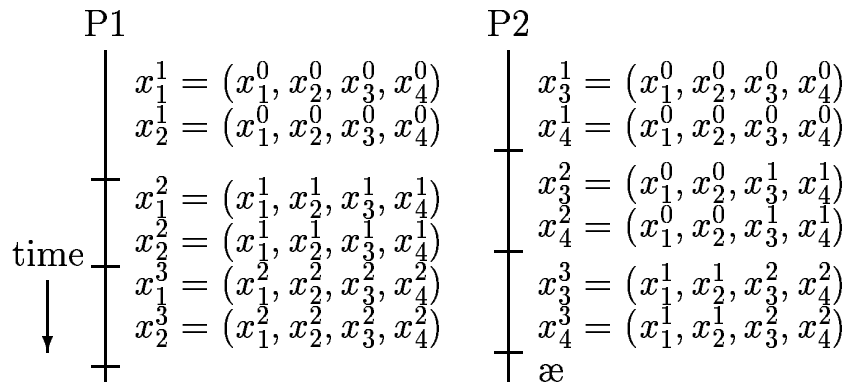
Condiții de convergență:

- A ireductibil diagonal dominată + $0 < \omega \leq 1 \Rightarrow$ SOQI converge
- A și X simetrice și pozitiv definite + $0 < \omega < 2 \Rightarrow$ SOQI converge
- JOQI converge $\Leftrightarrow 2\omega^{-1}X - A$ pozitiv definite

Obs: paralelism natural metode iterative cu blocuri 2×2 - soluțiile sistemelor cu matricele X respectiv $X - \omega W$ se det. rezolvând $n/2$ sisteme tip 2×2 , care pot fi det. în paralel.

3. *scheme de relaxare asincronă:*

- orice evaluare utilizează valorile componentelor care sunt disponibile la începutul calculului pe un procesor;
- fiecare procesor deține un set independent de componente, același la fiecare iterație
- probleme: convergență iterație



Două procesoare care lucrează simultan, asincron, la rezolvarea unui sistem liniar de 4 ecuații

4. *scheme de relaxare haotică:* procesele aleg în mod dinamic componentele care vor fi evaluate și valorile anterioare necesare calculului.
5. *metode gradient* - ex: căutare paralelă, prin start de la un număr de iterații inițiale diferite (figura)

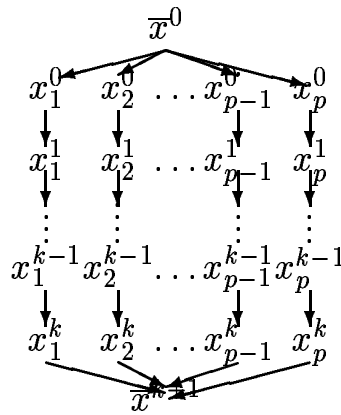
Fie $p_i^{k,0} = r_i^{k-1} = b - Ax_i^{k-1}$ ($1 \leq i \leq p$), $\pi_i^k = Ap_i^k$

Algoritm:

- (a) if $k > 1$ then
 for $i \in P$ do
 $p_i^k = r_i^{k-1}$
 for $j \in P$ do $p_i^k = p_i^k - \frac{\langle r_i^{k-1}, \pi_j^{k-1} \rangle}{\langle p_j^{k-1}, \pi_j^{k-1} \rangle} p_j^{k-1}$.

- (b) for $i \in P$ do $\pi_i^k = Ap_i^k$
 (c) for $i = 1$ to p do
 for $j \in \{1, \dots, i-1\}$ do
 $c = \frac{\langle \pi_j^k, p_i^k \rangle}{\langle \pi_j^k, p_j^k \rangle}$
 $p_i^k = p_i^k - cp_j^k$
 $\pi_i^k = \pi_i^k - c\pi_j^k$.
 (d) for $i \in P$ do $\omega_i^k = \omega_i^{k-1}$, $r_i^k = r_i^{k-1}$
 for $j \in P$ do
 $c = \frac{\langle p_j^k, r_i^{k-1} \rangle}{\langle \pi_j^k, p_j^k \rangle}$
 $x_i^k = x_i^k + cp_j^k$
 $r_i^k = r_i^k - c\pi_j^k$.

În for $i \in P$ do statement (i): statement (i) pot fi efectuate în paralel $i \in P$.



2. Metode paralele pentru sisteme tridiagonale:

Sistem linear tridiagonal: $Ax = d$ cu $d = (d_1, \dots, d_n) \in \mathbb{R}^n$,

$$A = \begin{pmatrix} a_1 & b_1 & & & \\ c_2 & a_2 & b_2 & & \\ & \ddots & \ddots & \ddots & \\ & & c_{n-1} & a_{n-1} & b_{n-1} \\ & & & c_{n-1} & a_n \end{pmatrix}$$

1. *reducere ciclică*: vezi curs anterior descompunere LU pt. caz tridiag – calcul U înlocuit cu iterații

$$u_i^{(k+1)} = a_i - c_i b_{i-1} / u_{i-1}^{(k)}, \quad k = \overline{1, m},$$

Convergență: dependentă de gradul de dominanță a diagonalei.

2. metode de *relaxare în bloc*: fie $A_p = (c_{i_p}, a_{i_p}, b_{i_p})$, $i_p \in \overline{M_p, M_{p+1} - 1}$ (corespunzătoare $M_1 = 1$, $M_i \leq M_{i+1}$, $M_p = n$)

Coef. b_{M_p} and c_{M_p} cuplează blocurile A_{p-1} și A_p .

Fie $A = G - H$ cu

$$G = \begin{pmatrix} A_1 & 0 & & & \\ 0 & A_2 & 0 & & \\ & \ddots & \ddots & \ddots & \\ & & 0 & A_{p-2} & 0 \\ & & & 0 & A_{p-1} \end{pmatrix}$$

și H conține numai coef de cuplare b_{M_p} și c_{M_p}

Metoda de relaxare:

$$Gx^{(k+1)} = b + Hx^{(k)}, \quad x^{(0)} = G^{-1}b$$

Paralelism: rezolvare p sisteme tridiagonale local pe procesoare diferite (fără comunicații) + multiplicare H cu un vector (comunicații!).

3. paralelizare prin permutare în caz $n = 2^k$ și SOR:

$$\begin{aligned} a_1 x_1^{(k+1)} &= (1 - \omega) a_1 x_1^{(k)} - \omega b_1 x_2^{(k)} + \omega d_1 \\ a_i x_i^{(k+1)} &= (1 - \omega) a_i x_i^{(k)} - \omega c_i x_{i-1}^{(k+1)} - \omega b_i x_{i+1}^{(k)} + \omega d_i, \quad i = \overline{2, n-1} \\ a_n x_n^{(k+1)} &= (1 - \omega) a_n x_n^{(k)} - \omega c_n x_{n-1}^{(k+1)} + \omega d_n \end{aligned}$$

nu permite paralelizare!

Fie P matrice de permutare a.î: $PAP^T y = \bar{A}y = \bar{d}$,

$$y = (x_1, x_3, \dots, x_{2^k-1}, x_2, \dots, x_{2^k})^T, \quad \bar{d} = (d_1, d_3, \dots, d_{2^k-1}, d_2, \dots, d_{2^k})^T$$

$$\bar{A} = \begin{pmatrix} a_1 & & & & & & & & b_1 \\ & a_3 & & & & & & & c_3 & b_3 \\ & & \ddots & & & & & & \ddots & \ddots \\ & & & & a_{2^k-1} & & & & c_{2^k-1} & b_{2^k-1} \\ c_2 & b_2 & & & & & a_2 & & & \\ & c_4 & b_4 & & & & & a_4 & & \\ & & \ddots & \ddots & & & & & \ddots & \\ & & & & b_{2^k-2} & & & & & \\ & & & & c_{2^k} & & & & & a_{2^k} \end{pmatrix}.$$

SOR aplicată la $\bar{A}y = \bar{d} = z$:

$$\begin{aligned} a_1 y_1^{(k+1)} &= (1 - \omega) a_1 y_1^{(k)} + \omega z_1 \\ a_{2i-1} y_i^{(k+1)} &= (1 - \omega) a_{2i-1} y_i^{(k)} - \omega c_{2i-1} y_{n/2+i-1}^{(k)} - \omega b_{2i-1} y_{n/2+i}^{(k)} + \omega z_i, \quad i = \overline{2, n/2} \\ a_{2i} y_{n/2+i}^{(k+1)} &= (1 - \omega) a_{2i} y_{n/2+i}^{(k)} - \omega c_{2i} y_i^{(k+1)} - \omega b_{2i} y_{i+1}^{(k+1)} + \omega z_{n/2+i}, \quad i = \overline{1, n/2-1} \\ a_n y_n^{(k+1)} &= (1 - \omega) a_n y_n^{(k)} - \omega c_n y_{n/2}^{(k+1)} + \omega z_n. \end{aligned}$$

Obs: dacă $y_1^{(k)}, \dots, y_n^{(k)}$ cunoscute $\Rightarrow y_1^{(k+1)}, \dots, y_{n/2}^{(k+1)}$ pot fi calc. în paralel, apoi $y_{n/2+1}^{(k+1)}, \dots, y_n^{(k+1)}$ pot fi calc. în paralel.

METODE ITERATIVE PARALELE DE REZOLVARE A SISTEMELOR DE ECUAȚII NELINIARE

Problema: rezolvarea sistemului $F(x) = 0$, unde $F : R^n \rightarrow R^n$.

0. Metode secvențiale acceptate: metoda secantei (caz $n = 1$) metoda Newton, metode de tip gradient conjugat.

1. Metode paralele pentru cazul $n = 1$

A. Generalizarea metodei bisecției

Idee: creșterea numărului de evaluări de funcție.

Pasul i :

1. alegerea a k puncte distincte în intervalul curent
2. evaluarea în paralel a valorilor funcției în punctele alese
3. determinarea unui nou interval de aproximare (valorile între care semnul funcției se schimbă)
4. dacă lungimea noului interval este mai mare decât nivelul de eroare admis se reiau pașii de mai sus

Obs: dacă valorile alese sunt valori echidistante (generare metoda bisecției), cu cât numărul acestora este mai mare cu atât lungimea noului interval de aproximare la fiecare pas este mai mică, deci alg. este mai rapid.

.....

B. Metoda Newton asincronă

Iterații Newton: $x_{k+1} = x_k - f_2/f_1$, $f_2 = f(x_k)$, $f_1 = f'(x_k)$. Idei:

1. se consideră disponibile 2 procesoare
2. variabilele ce trebuie actualizate sunt x , f_1 , f_2
3. pp. f_1 actualizat de un procesor, x , f_2 de al doilea
4. procesoarele utilizează valorile curente ale variabilelor globale fără a aștepta terminarea pasului de către celălalt procesor.

Obs: formula este modificată:

$$x_{k+1} = x_k - f(x_k)/f'(x_j), \quad j \leq k$$

și se schimbă ordinul de convergență a metodei.

Ex: linie orizontală = comunicare, timp pe verticală

Proc. 1	Memorie	Proc.2
$f(x_1)$	$x_1, f(x_0)$	$x_2 = x_1 - f(x_1)/f'(x_0)$
	$x_2, f(x_0)$	$x_3 = x_2 - f(x_2)/f'(x_0)$
$f(x_3)$	$x_3, f(x_0)$	$x_4 = x_3 - f(x_3)/f'(x_0)$
	$x_4, f(x_1)$	$x_5 = x_4 - f(x_4)/f'(x_1)$
	$x_5, f(x_1)$	$x_6 = x_5 - f(x_5)/f'(x_1)$

2. Metode paralele pentru cazul multidimensional $n > 1$

A. Multiplexarea extrapolării Lagrange

Obs: generalizare metodă bisecție sau secantă pt. cazul multidimensional

Idei:

- producerea unei secvențe de vectori a căror componente converg spre rădăcină.
- la un pas primul procesor utilizează cele mai noi m aproximații și determină nouă aproximație utilizând L_{m+1} , polinomul de interpolare Lagrange a lui $f(x)$ în cele m aproximații și extrapolează L_{m+1} la 0.
- simultan procesorul 2 utilizează cele mai curente $m+1$ aproximații și determină L_{m+2} , extrapolează și determină noua aproximație, etc.
- astfel r procesoare produc r noi aproximații ale rădăcinii

Fie $x_n = (x_n^1, \dots, x_n^r) =$ vector cu r aproximații ale rădăcinii lui $f(x)$.

Atunci x_{n+1} det. astfel:

- se alege $m \geq 2$;
- se det. r polinoame de interpolare Lagrange $L_{m+j}(x)$ de grade $m+j-2$, $j = \overline{1, r}$;
- pt. fiecare j , $j = \overline{1, r}$, $L_{m+j}(x)$ interpolează punctele $(x_\alpha^\beta, f(x_\alpha^\beta))$ unde $\beta = r - \gamma + \lfloor \gamma \rfloor - r\delta$, $0, \gamma/r - \lfloor \gamma \rfloor/r$, $\alpha = n \lfloor (\gamma - 1)/r \rfloor$, pt. fiecare $\gamma = \overline{1, m+j-1}$, unde $\delta =$ simbolul Kronecker.

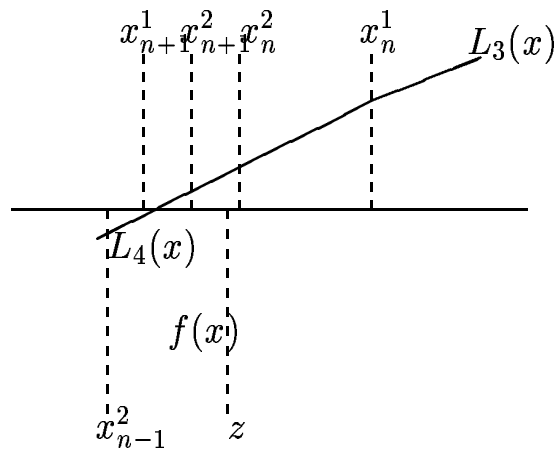
Notăție: x_{n+1}^j , $j = \overline{1, r}$ rădăcina lui $L_{m+j}(x)$ și F_m funcție de $\lfloor (m-1)/r \rfloor + 2$ variabile vector pt. care $x_{n+1} = F_m(x_n, x_{n-1}, \dots, x_{n-1-\lfloor (m-1)/r \rfloor})$.

Caz particular: $r = 2$, $m = 2$, $F_2 = F_2(x_n, x_{n-1})$ unde

$$F_2 = \left(\frac{x_n^1 f_n^2 - x_n^2 f_n^1}{f_n^2 - f_n^1}, \frac{f_n^1 f_n^2 x_{n-1}^2}{(f_{n-1}^2 - f_n^1)(f_{n-1}^2 - f_n^2)} + \frac{f_{n-1}^2 f_n^2 x_n^1}{(f_n^1 - f_{n-1}^2)(f_n^1 - f_n^2)} + \frac{f_{n-1}^2 f_n^1 x_n^2}{(f_n^2 - f_{n-1}^2)(f_n^2 - f_n^1)} \right)$$

Obs:

- noile aprox. x_{n+1}^1 și x_{n+1}^2 sunt obținute din 3 aprox. x_{n-1}^2 , x_n^1 , x_n^2 .
- x_{n+1}^1 este det. din coarda asociată cu x_n^1 și x_n^2 iar x_{n+1}^2 este det. din parabolă asociată cu x_{n-1}^2 , x_n^2 și x_n^1 .
- viteza alg. paralelă logaritmică în nr. de procesoare



B. Multiplexarea interpolării Hermite

Obs:

- pol. de interpolare Hermite $H(x)$ a lui $f(x)$ este parametrizat prin perechile (x_i, b_i) , $i = \overline{1, m}$, a.î. $H^{(j)}(x) = f^{(j)}(x_j)$, $j = \overline{0, b_i - 1}$, $i = \overline{1, m}$.
- dacă $N + 1 = \sum_{i=1}^m b_i$, $\exists!$ pol. Hermite de grad $\leq N$
- pol. Hermite corespunzător datelor (x_i, b_i) , $i = \overline{1, m}$ poate fi utilizat pt. extrap. la 0 pt. a găsi o nouă iterație x_{m+1}

Caz $b_j = j b$ – alg paralel cu m procesoare:

- proc. k ($k = \overline{1, m}$) efectuează b evaluări $f^{k b - i}(x_{n-i+1})$, $i = \overline{1, b}$, unde x_n este ceamai nouă aprox. a rădăcinii
- x_{n+1} este calc. prin extrapol. pol. Hermite la zero
- x_{n-j+1} , $i = \overline{1, b}$ sunt actualizate prin $x_{n-i+1} = x_{n-i+2}$, $i = \overline{1, b}$.

Ex.: $m = 2$, $b = 1$,

- primul procesor evaluează $f(x_n)$
- proc. secundar eval. $f'(x_{n-1})$
- pol. Hermite corespunzător perechilor $(x_n, 1)$ și $(x_{n-1}, 2)$ este construit
- x_{n+1} este det. prin extrapol.

Obs: algoritmul cu $b = 2$ și $m = 2$ utilizează tot 2 proc. (primul eval. $f(x_n)$ și $f'(x_n)$, secundar eval. $f''(x_{n-1})$ și $f'''(x_{n-1})$).

C. Metode de tip Newton

1. metoda Newton discretă (convergență pătratică)

$$x^{(k+1)} = x^{(k)} - J(x^{(k)})^{-1} F(x^{(k)}), \quad F = (f_1, \dots, f_n), \quad J(x) = (\partial f_i / \partial x_j)_{1 \leq i, j \leq n}$$

Eval. J complexă $\rightarrow J_k \approx J(x_k)$:

$$J_k c_j = [F(x^{(k)}) + \varepsilon_k c_j - F(x^{(k)})] / \varepsilon_k, \quad 1 \leq j \leq n \quad (c_j)_k = \begin{cases} 1, & k = j \\ 0, & \text{altfel} \end{cases}$$

unde $0 < \varepsilon \leq \|F(x^{(k)})\|$.

Idee: evaluarea Jacobianului de-a lungul a mai multe iterații. Variante:

- (a) actualizare treptată coloane (alg. sincron)
- (b) reevaluare după un nr. fix de iterații (calcul în paralel cu iterațiile, alg. sincron)
- (c) reevaluare după un număr arbitrar de iterații (calcul în paralel cu iterațiile, alg. asincron)

2. metoda Jacobi-Newton (convergență superliniară)

$$x_i^{(k+1)} = x_i^{(k)} - J_i^{-1} F(x_1^{(k)}, \dots, x_i^{(k)}, \dots, x_n^{(k)}) \quad i = 1, \dots, n$$

$$J_i = \frac{\partial f_i(x_1^{(k)}, \dots, x_{i-1}^{(k)}, x_i, x_{i+1}^{(k)}, \dots, x_n^{(k)})}{\partial x_i} \Big|_{x_i = x_i^{(k)}}$$

Obs: fiecare componentă a vectorului iterativ poate fi calculat independent cunoscând valorile anterioare.

3. metoda Gauss-Seidel-Newton modificată a.î să se aplic. în paralel + convergență pătratică:

$$x_i^{(k+1)} = x_i^{(k)} - J_i^{-1} F(x_1^{(k+1)}, \dots, x_{i-1}^{(k+1)}, x_i^{(k)}, x_{i+1}^{(k)}, \dots, x_n^{(k)}) \quad i = 1, \dots, n$$

cu J_i de mai sus; se aplică în forma:

$$x_i^{(k,0)} = x_i^{(k)}$$

$$x_i^{(k,l+1)} = x_i^{(k,l)} - J_i^{-1} F(x_1^{(k+1,l)}, \dots, x_{i-1}^{(k+1,l)}, x_i^{(k,l)}, x_{i+1}^{(k,l)}, \dots, x_n^{(k,l)}), \quad l = 1, \dots, m-1$$

$$x_i^{(k+1)} = x_i^{(k,m)}.$$

D. Reducerea problemei la un sistem liniar

Ex: se consideră iterațiile Newton

$$x^{(k+1)} = x^{(k)} - [f'(x^{(k)})]^{-1} f(x^{(k)})$$

care pot fi scrise

$$f'(x^{(k)})(x^{(k+1)} - x^{(k)}) = -f(x^{(k)})$$

și sistemului liniar i se aplică un alg. paralel.

3. Metode pentru funcții speciale

Ecuatii polinomiale

Obs: alg. secvențiali conțin un grad de paralelism (Durant-Kerner sau Ehrlich)

Ex: alg. Durant-Kerner

Problema: se caută o descompunere a polinomului P : $P(z) = \prod_{k=1}^n (z - z_i^*)$.

1. Fie z_1, z_2, \dots, z_n val. aprox. a $z_1^*, z_2^*, \dots, z_n^*$,
2. Fie $Q(z) = \prod_{z=1}^n (z - z_i)$. Atunci $P'(z) \approx Q'(z)$.
3. Iterații Newton modificate:

$$\begin{aligned} z_1^{(k+1)} &= z_1^k - P(z_1^{(k)})/Q'(z_1^{(k)}) \\ &\vdots \\ z_n^{(k+1)} &= z_n^k - P(z_n^{(k)})/Q'(z_n^{(k)}) \end{aligned}$$

Obs: cele n eval. polinomiale + n aprox. noi pot fi calculate independent pe un calculator paralel.

METODE PARALELE DE DETERMINARE A VALORILOR PROPRII ȘI OPTIMIZARE

A. DETERMINAREA VALORILOR PROPRII

Problema: $(\lambda, x) : Ax = \lambda x, x \neq 0$, unde A matrice simetrică $n \times n$
 $\lambda = \text{val.prop. } A, x = \text{vector propriu } A$

Obs:

- valorile proprii sunt rădăcinile $\det(A - \lambda I) = 0$, notate $\lambda_1, \dots, \lambda_n$, de multiplicitate m_λ
- A e simetrică \Rightarrow valori proprii reale.

1. Metoda planelor de rotație

Idee: matricea A este redusă la forma diagonală care conține val. proprii ale lui A prin aplicarea unor rotații; elementul $a_{pq}^{(k)}$ (cel mai mare în $|\cdot|$) anihilat printr-o rotație în planele (p, q) de unghi $\alpha_{pq}^{(k)}$,

$$A^{(1)} = A, \quad A^{(k+1)} = J^{(k)} A^{(k)} (J^{(k)})^T, \quad k = 1, 2, \dots$$

$$J_{ij}^{(k)} = \delta_{ij}, \quad i, j \neq p, q, \quad J_{(p,q)}^{(k)} = \sin \alpha_{pq}^{(k)} = -J_{(q,p)}^{(k)}, \quad J_{(p,p)}^{(k)} = \cos \alpha_{pq}^{(k)} = J_{(q,q)}^{(k)}.$$

$$|a_{pq}^{(k)}| = \max_{i \neq j} |a_{ij}^{(k)}|.$$

$$\alpha_{pq}^{(k)} = \frac{1}{2} \tan^{-1} \left(\frac{2a_{pq}^{(k)}}{a_{pp}^{(k)} - a_{qq}^{(k)}} \right), \quad -\frac{1}{4}\pi < \alpha_{pq}^{(k)} < \frac{1}{4}\pi.$$

$$\lim_{k \rightarrow \infty} A^{(k)} = D$$

Aplicare simultană a rotațiilor:

Obs: fiecare rotație R_{pq} afectează liniile p și q , coloanele p și q of A

R_{pq} și R_{rs} sunt disjuncte dacă indicii p, q, r , și s sunt toate distincte

Ex: scheme ciclice Jacobi scheme (rată convergență pătratică) – fiecare etapă anihilare a $N = \frac{1}{2}n(n-1)$ perechi din $((p, q) | 1 \leq p < q \leq n)$.

1. metoda linie-ciclică

$$(p_0, q_0) = (1, 2),$$

$$(p_{k+1}, q_{k+1}) = \begin{cases} (p_k, q_k + 1), & \text{dacă } p_k < n - 1, \text{ and } q_k < n \\ (p_k + 1, p_k + 2), & \text{dacă } p_k < n - 1, \text{ și } q_k = n \\ (1, 2), & \text{dacă } p_k = n - 1, \text{ și } q_k = n. \end{cases}$$

2. metoda coloană-ciclică

$$(p_0, q_0) = (1, 2), \quad (p_{k+1}, q_{k+1}) = \begin{cases} (p_k + 1, q_k), & \text{dacă } p_k < q_k - 1, \text{ și } q_k \leq n \\ (1, q_k + 1), & \text{dacă } p_k = q_k - 1, \text{ și } q_k < n \\ (1, 2), & \text{dacă } p_k = n - 1, \text{ și } q_k = n. \end{cases}$$

Obs: schemele ciclice de mai sus sunt indicate numai în cazul secvențial deoarece prechi consecutive nu sunt disjuncte.

? set de rotații $R_i = \{R_{p,q} : \{p_i, q_i\} \cap \{p_j, q_j\} = \emptyset, i \neq j\}$ care pot fi efectuate simultan.

Obs: max. nr. rotații simultane: $\lfloor \frac{1}{2}n \rfloor$, nr. de pași: $2\lfloor \frac{1}{2}n \rfloor - 1$ paraleli în loc $\frac{1}{2}n(n-1)$ în caz paralel.

Ex:

1. schema Sameh

$$e(n) = \begin{cases} n, & \text{if } n \text{ este par} \\ n-1, & \text{if } n \text{ impar} \end{cases} \quad o(n) = \begin{cases} n-1, & \text{if } n \text{ par} \\ n, & \text{if } n \text{ impar} \end{cases}$$

$$Z = \{(p, q) \mid 1 \leq p < q \leq n\},$$

$Z_k \subseteq Z, k = \overline{1, o(n)}$ a.î. $\{Z_1, \dots, Z_{o(n)}\}$ partiționare Z și $|Z_k| = \frac{1}{2}e(n), k = \overline{1, o(n)}$

Anihilare simultană a $\frac{1}{2}e(n)$ elemente a lui $A^{(k)}$ indexate după elem. Z_k ,

$$A^{(1)} = A, \quad A^{(k+1)} = J^{(k)} A^{(k)} (J^{(k)})^T, \quad k = \overline{1, o(n)}$$

$$J^{(k)} = -J^{(k)} = \sin \theta_{pq}, \quad J^{(k)}(p, p) = J^{(k)}(q, q) = \cos \theta_{pq},$$

$$J^{(k)}(i, j) = \delta_{ij}, \text{ dacă } \{i, j\} \not\subseteq \{p, q\} \quad (p, q) \in Z_k$$

$$m = \frac{1}{2} \lfloor \frac{1}{2}(n+1) \rfloor$$

Z_k cu $k = \overline{1, 2m-1}$ definit astfel:

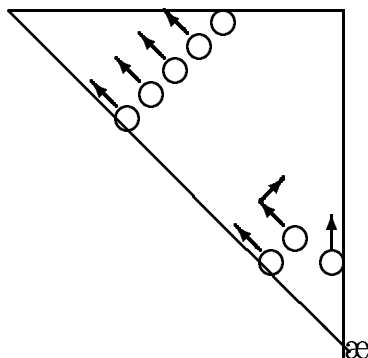
(a) for $k = \overline{1, m-1}, q = \overline{m-k+1, n-k}$

$$p = \begin{cases} 2m - 2k + 1 - q, & \text{if } m - k + 1 \leq q \leq 2m - 2k, \\ 4m - 2k - q, & \text{if } 2m - 2k < q < 2m - k, \\ n, & \text{if } 2m - k \leq q \leq n - k. \end{cases}$$

(b) for $k = \overline{m, 2m-1}, q = \overline{4m-n, 3m-k-1}$

$$p = \begin{cases} n, & \text{if } 4m - n \leq q \leq 2m - k, \\ 4m - 2k - q, & \text{if } 2m - 2k < q < 4m - 2k, \\ 6m - 2k - 1 - q, & \text{if } 4m - 2k \leq q \leq 3m - k - 1. \end{cases}$$

Figura: poziția elementelor din pasul $(k+1)$ deduse din pasul k :



2. scheme mobile de generare a rotațiilor:

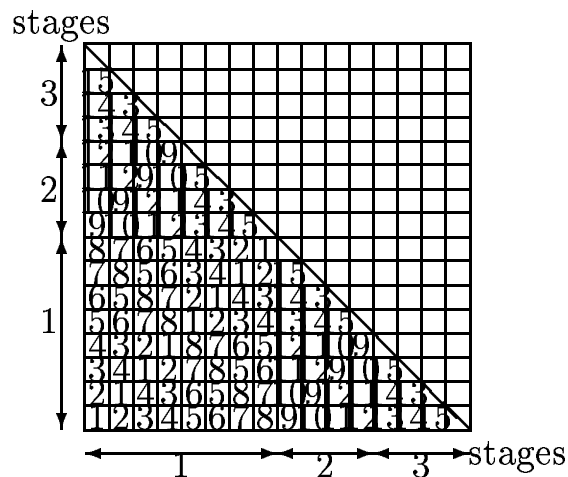
(a)

Column	1	2	3	4	5	6	7	8	9	Rotations
Initial	·←	(2)←	·←	(4)←	·←	(6)←	·←	(8)←	·	
	↓								↑	
Stage 1	(1)→	·→	(3)→	·→	(5)→	·→	(7)→	·→	(9)	(1,2),(3,4),(5,6),(7,8)
	↓								↑	
Stage 2	(2)←	·←	(4)←	·←	(6)←	·←	(8)←	·←	(9)	(1,4),(3,6),(5,8),(7,9)
	↓								↑	
Stage 3	(4)←	·←	(6)←	·←	(8)←	·←	(9)←	·←	(7)	(2,4),(1,6),(3,8),(5,9)
	↓								↑	
Stage 9	(2)→	·→	(3)→	·→	(1)→	·→	(5)→	·→	(9)	
	↓								↑	
⋮										⋮

(b)

$k \setminus i$	1	2	3	4	5	6	7	8
1	1	2	3	4	5	6	7	8
2	1	2	3	4	5	6	7	8
3	2	3	4	5	6	7	8	1
4	2	3	4	5	6	7	8	1
⋮								

3. algoritm bloc recursiv – ex. anihilare



Alte metode:

1. scheme ciclise pentru matrice bidiagonale
2. metoda Householder (alt tip de rotații)
3. metoda biseției (determinare intervale pt. val. proprii)
4. metoda puterii, de determinare a valorii proprii dominante

B. OPTIMIZARE

Probl. (fără constrâng.): det. extreme $\min_{x \in D} f(x)$, $\max_{x \in D} f(x)$, $D \subset \mathbb{R}^m$.

Metode secvențiale:

1. utilizarea derivatei
2. metode pt. cazul unidimensional:
 - (a) divizarea intervalului de căutare în 3 părți egale și reducerea acestuia la fiecare pas cu $1/3$ din interval (2 evaluări de funcție per pas)
 - (b) divizarea intervalului în părți inegale: cea mai rapidă este metoda secțiunii de aur care se bazează pe o diviziune construită pornind de la șirul lui Fibonacci (1 eval. funcție per pas)
3. metode de tip gradient pt. cazul multidimensional
4. metode non-gradient, pe bază de direcții de căutare/minimizare

Idee metode paralele:

1. pt. cazul unidimensional, mai multe evaluări de funcții simultan
 2. pt. cazul multidimensional, căutare în mai multe direcții simultan
-

Cazul unidimensional. Metoda Kiefer a secțiunii de aur generalizată

Pp. lungimea interval de căutare L satisface $G_r(k) \leq L \leq G_{r+1}(k)$ unde

$$G_r(k) = \frac{k+1}{2}(G_{r-1}(k) + G_{r-2}(k)), \quad G_0(k) = 1, \quad G_1(k) = \frac{k+1}{2}, \quad k \text{ impar},$$

$$G_r(k) = \frac{k+1}{2}G_{r-1}(k), \quad G_0(k) = 1, \quad k \text{ par.}$$

și funcția $f : [0, L] \rightarrow \mathbb{R}$ este unimodală adică pct. de maxim $\tilde{x} \in [0, L]$ a.i.

$$\text{if } x < y \leq \tilde{x} \text{ then } f(x) < f(y) \text{ if } \tilde{x} \leq x < y \text{ then } f(x) > f(y).$$

Atunci $r + 1$ pași a $k + 1$ -upluri de evaluări de funcții (pași paraleli) sunt suficiente pt. a localiza pct. maxim în intervalul unitate.

Pas 1. Dacă

$$L = \begin{cases} \theta G_r(k), & 0 < \theta < 1, \quad k \text{ impar} \\ G_r(k) - \varepsilon, & G_r(k) - \varepsilon, \quad 0 < \varepsilon < 1, \quad k \text{ par} \end{cases}$$

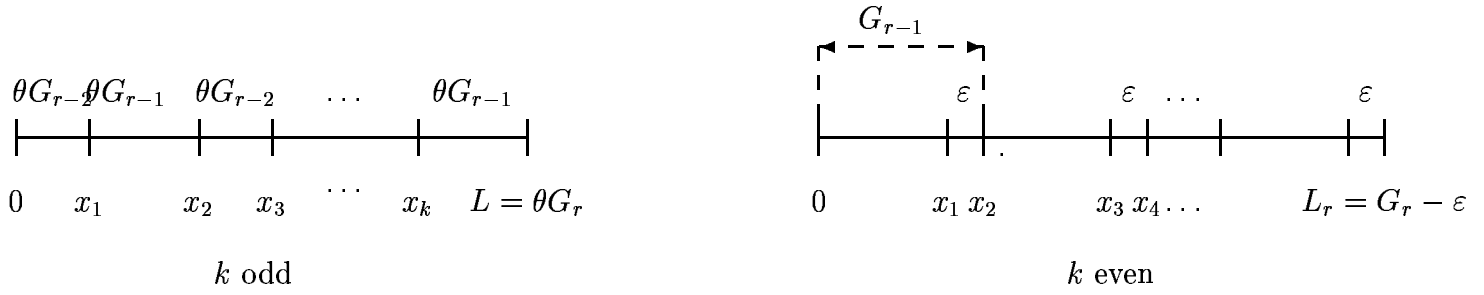
atunci cele k puncte în care f este evaluată, x_1, x_2, \dots, x_k sunt

$$x_{2t} = \begin{cases} \theta t(G_{r-2}(k) + G_{r-1}(k)), & t = \overline{1, (k-1)/2}, \quad k \text{ impar} \\ tG_{r-1}(k), & t = \overline{1, k/2}, \quad k \text{ par.} \end{cases}$$

$$x_{2t+1} = \begin{cases} \theta((t+1)G_{r-2}(k) + tG_{r-1}(k)), & t = \overline{0, (k-1)/2}, \quad k \text{ impar} \\ x_{2t} - \varepsilon, & t = \overline{1, k/2}, \quad k \text{ par.} \end{cases}$$

(descompun $[0, L]$ în $k + 1$ subintervale adiacente de lungimne alternative

$$\begin{cases} \theta G_{r-1}(k), & k \text{ impar} \\ G_{r-1}(k) - \varepsilon, & k \text{ par,} \end{cases} \quad \begin{cases} \theta G_{r-2}(k), & k \text{ impar} \\ \varepsilon, & k \text{ par.} \end{cases}$$



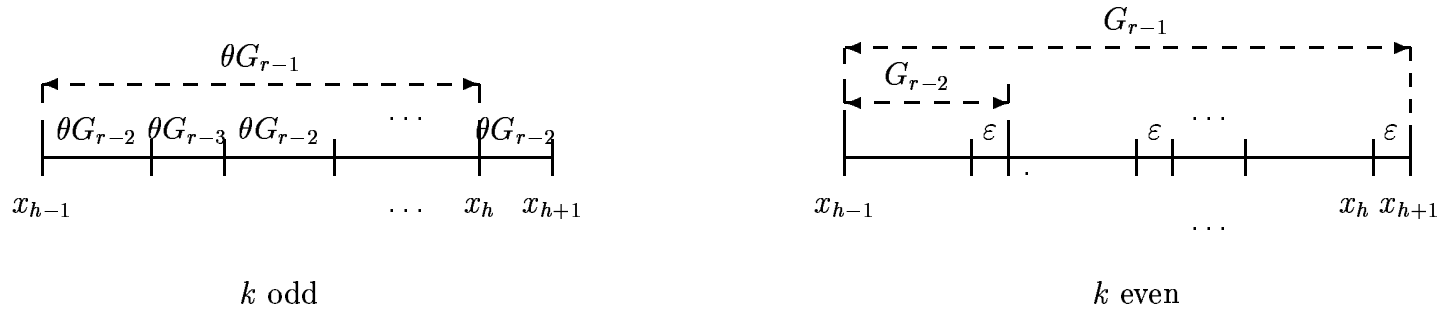
Obs: dacă x_h corespunde la cea mai mare valoare f atunci val. max. căutată se află în subintervalul $[x_{h-1}, x_{h+1}]$.

Lungime interval: $\theta G_{r-1}(k) + \theta G_{r-2}(k)$, dacă k este impar, $G_{r-1}(k)$ dacă k este par.

Pas 2. Eval. f în $x_{h-1} + y_1, \dots, x_{h-1} + y_k$

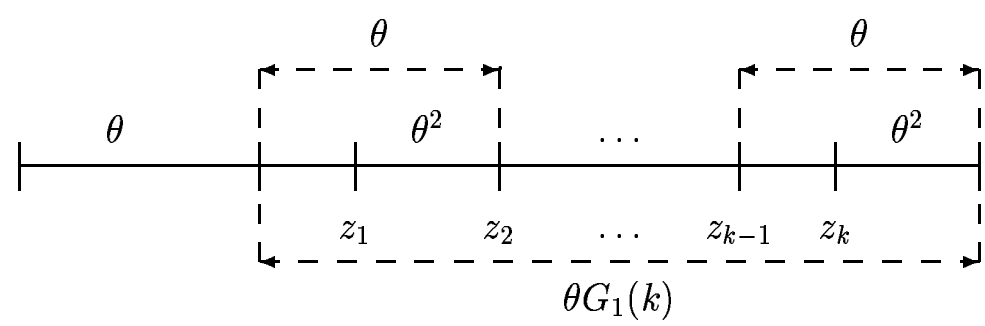
$$y_{2t} = \begin{cases} \theta t(G_{r-3}(k) + G_{r-2}(k)), & t = \overline{1, (k-1)/2}, k \text{ impar} \\ tG_{r-2}(k), & t = \overline{1, k/2}, k \text{ par.} \end{cases}$$

$$y_{2t+1} = \begin{cases} \theta((t+1)G_{r-2}(k) + tG_{r-3}(k)), & t = \overline{0, (k-1)/2}, k \text{ impar} \\ y_{2t} - \epsilon, & t = \overline{1, k/2}, k \text{ par.} \end{cases}$$



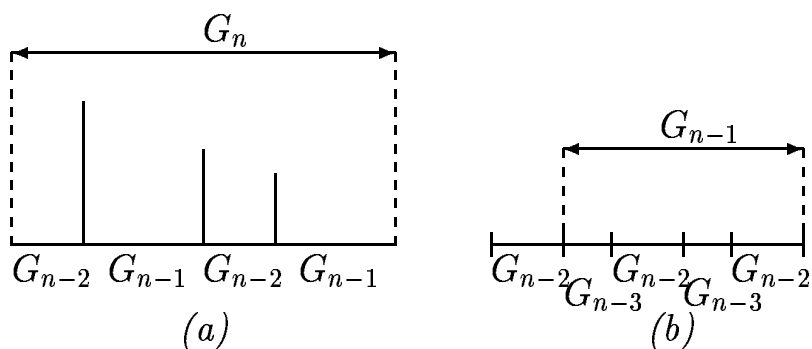
⋮
Pas $r - 1$ dacă k este impar, r dacă k este par. Pct. (z_1, \dots, z_k) where

$$z_{2t} = a + (t+1)\theta, \quad t = \overline{1, (k-1)/2}, \quad z_{2t+1} = a + (t+1)\theta + \theta(1-\theta), \quad t = \overline{0, (k-1)/2}.$$



Lungime a 2 subintervale consecutive: $\theta + \theta(1 - \theta) < 1$ și $\theta < 1$.

Ex: $k = 3$ și $L = G_n(3)$



Cazul multidimensional. Metoda Powell

Secvențial:

- se dă un pct. p și m direcții v^1, \dots, v^m .
- pornind la p se fac m minimizări univariate în secvență în direcțiile v^1, \dots, v^m
- minimizarea în direcția v^j pornește din pct. furnizat de minimizarea furnizată de v^{j-1} , $j = \overline{2, m}$
- această procedură produce o traiectorie diagonală care se termină într-un pct, fie q
- minimizare finală pornind de la q în direcția $v^{m+1} = q - p$; rezultă un pct. r
- ciclul se reia cu vectori actualizați $r \rightarrow p$, $v^{i+1} \rightarrow v^i$, $i = \overline{1, m}$
- pt. $f(x) = x^T Ax + bx + c$, cu A matrice $m \times m$ simetrică alg. se termină în max. m cicluri și m^2 minimizări în m^2 pași

Paralel:

- U set de m vectori unitari linear independenți u^1, \dots, u^m
- la fiecare ciclu se selectează un vector din U în ordine ciclică
- se dă un pct. p și $m - 1$ vectori v^2, \dots, v^{m-1}
- se selectează un vector din U , fie v^m .
- pornind de la p , se construiește o linie poligonală cu ajutorul vectorilor v^1, \dots, v^m
- din fiecare vârf a liniei poligonale (fără p) se efectuează m minimizări univariate simultane în direcția v^1 , producându-se deplasamentul $\alpha_i v^1$, $i = \overline{1, m}$ de la vârful $p + \sum_{j \leq i} v^j$, $i = \overline{1, m}$ a liniei poligonale
- se actualizează p și v^1, \dots, v^{m-1} : $p + v^1 + \alpha_1 v^1 \rightarrow p$, $v^{i+1} + (\alpha_{i+1} - \alpha_i) v^1 \rightarrow v^i$, $i = \overline{1, m - 1}$
- se reia ciclul.
- în caz f quadratic, m^2 minimizări în m pași paraleli

METODE PARALELE PENTRU ECUAȚII DIFERENȚIALE ORDINARE - PARTEA I

Problema (cu valori inițiale IVP pt. ecuații diferențiale ordinare ODE): $\begin{cases} y'(t) = f(t, y(t)), \\ y(t_0) = y_0 \end{cases}$
unde $t \in [t_0, t_0 + T]$, $f : [t_0, t_0 + T] \times \mathbb{R}^n \rightarrow \mathbb{R}^n$.

De ce coduri paralele?

1. cazul $n \gg 1$ (de exemplu, dacă sistemul este obținut din ecuații cu derivate parțiale dependente de timp)
2. soluțiile sunt necesare în timp real;
3. cazul $T \gg 1$;
4. integrări repetate;
5. evaluarea funcțiilor este costisitoare;
6. sistemul este rigid (metodele explicite rapide nu pot fi utilizate).

Stare-de-fapt:

- (a) nr. algoritmilor paraleli pt. ODE \ll nr. alg. paraleli pt. sisteme liniare sau ec. cu derivate parțiale;
- (b) majoritatea metodelor nu au fost testate în implementare;
- (c) măsurătorile de eficiență nu trebuie efectuate relativ la cea mai apropiată metodă secvențială, ci cea optimală (nu există rețeta perfectă! precum în cazul ec. liniare);
- (d) cercetările privind alg. paraleli pt. ODE au fost efectuate cu preponderență după 1990.

Rațiune: integrarea numerică a IVP prin metode cu diferențe este de natură secvențială.

Cum? Utilizând metode multivalori și tehnici paralele bazate pe

- paralelism în sistem;
- paralelism în metodă;
- paralelism în timp.

O metodă serială „bună”

Pp. că

- (a) intervalul de integrare este divizat: $t_0 < t_1 < \dots < t_N = t_0 + T$
- (b) metoda numerică oferă o aproximare: $y_n \approx y(t_i)$.

Stabilitate:

Metoda numerică este stabilă dacă pt. fiecare ODE stabilă, există K și h_0 a.î.

$$\|y_n - \bar{y}_n\| \leq K \|y_0 - \bar{y}_0\|, \quad \forall h : 0 < h < h_0,$$

unde y_n sunt calculate în secvență $y_0 \rightarrow y_1 \rightarrow \dots \rightarrow y_n$ utilizând h , iar \bar{y}_n în $\bar{y}_0 \rightarrow \bar{y}_1 \rightarrow \dots \rightarrow \bar{y}_n$ utilizând h .

Regiunea de stabilitate absolută:

$A = \{h\lambda \mid \text{aplicând metoda la: } y' = \lambda y, y(t_0) = y_0, \text{ cu pasul constant } h > 0, \text{ se obțin valorile aproximative } y_n \text{ pt. care } y_n \rightarrow 0, \text{ când } n \rightarrow \infty\}$

Acuratețe: Fie

- (a) metoda unipas $y_{n+1} = y_n + h\Phi(t_n, y_n, h)$
- (b) $z_{n+1} := y(t_n) + h\Phi(t_n, y(t_n), h)$.

Atunci

- (a) $TE = y(t_{n+1}) - z_{n+1}$ este eroarea locală de discretizare;
- (b) $y(t_{n+1}) - y_{n+1}$ este eroarea globală la t_{n+1} ;

Dacă $TE = Ch^{p+1}\varphi(t_n, t(t_n)) + \mathcal{O}(h^{p+2})$, atunci p =ordin de acuratețe.

Condiție de consistență: $p \geq 1$.

Acuratețe=consistență + constantă de eroare mică C .

Convergență: Fie $y_h(t)$ fct. de interpolare a valorilor aprox, calculate cu pas h . Metoda este convergentă dacă pt. un IVP dat

$$\lim_{h \rightarrow 0} \|y(t) - y_h(t)\| = 0, \quad \forall t \in [t_0, t_0 + T].$$

Convergență = Stabilitate + Consistență.

Paralelism în sistem

Fie metoda multi-pas explicită:

$$\begin{aligned} y_j^{(i+1)} &= g(y_j^{(i)}, y_j^{(i-1)}, \dots, y_j^{(i-p)}, f_j^{(i-1)}, \dots, f_j^{(i-q)}, h), \quad j = \overline{1, n}, \\ f_j^{(i)} &= f_j(t_i, y_1^{(i)}, \dots, y_n^{(i)}), \quad t_i = t_0 + ih. \end{aligned}$$

1. procesare paralelă la *nivel de sarcină majoră*: met.de segmentare a ec. (ES) $\{1, \dots, n\} = \cup_{l=1}^m J_l$ (figura)
2. procesare paralelă la *nivel de sarcină medie*: partiționarea evaluării funcției sistemului.
3. procesare paralelă la *nivel de sarcină minoră*: partiționarea evaluării funcției sistemului la nivel de operator de bază (de ex., utilizând un alg. paralel pt. ec. liniare recurente)

Avantaje: utilizarea unei metode numerice arbitrare

Dezavantaje:

- (a) grad scăzut de paralelism;
- (b) viteza alg. paralel depinde de sistemul de ODE-uri (dependent de utilizator).

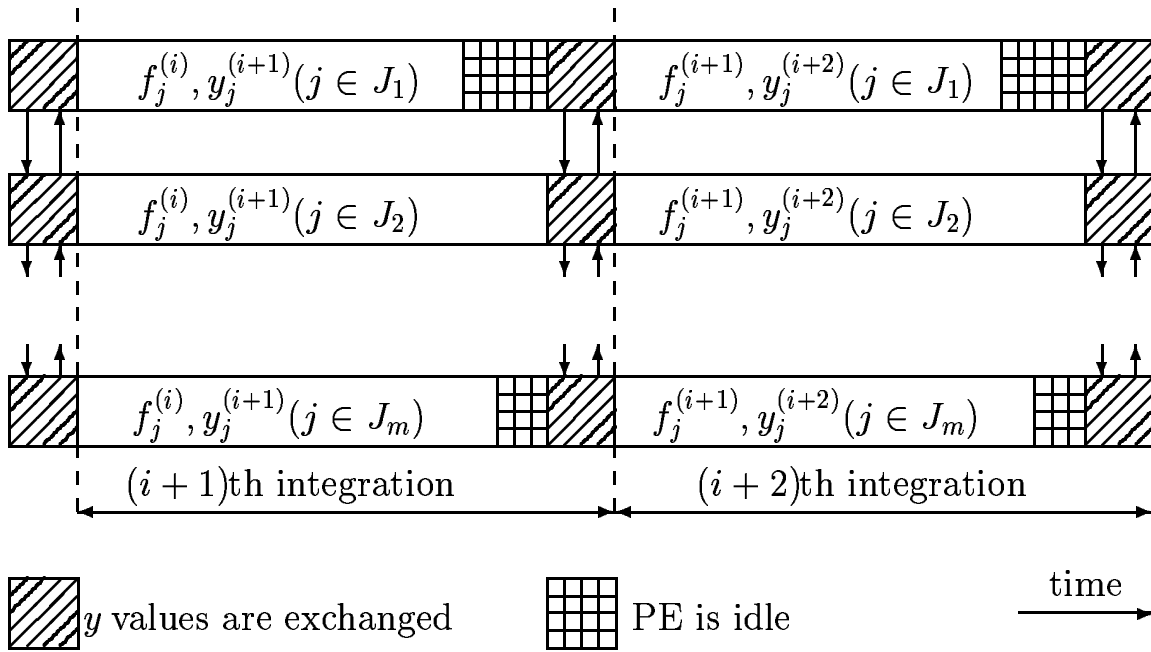
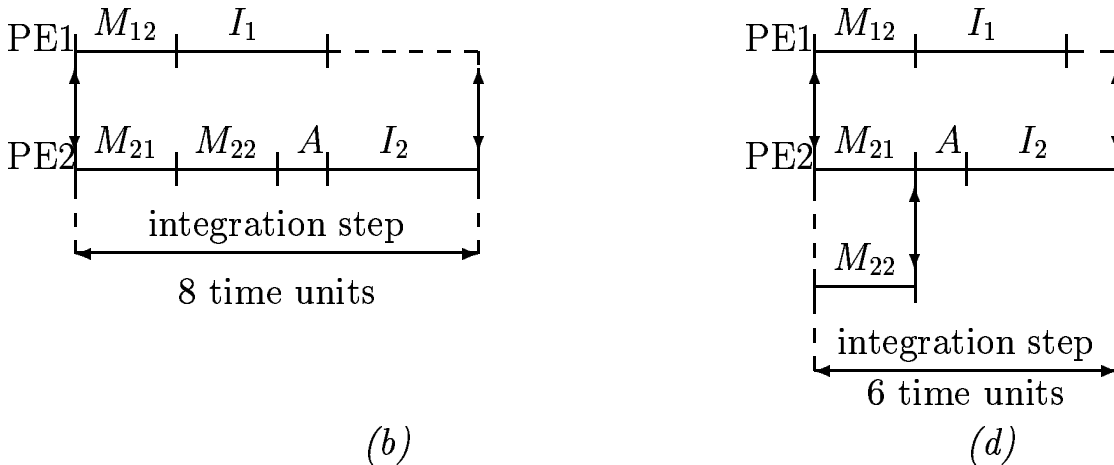
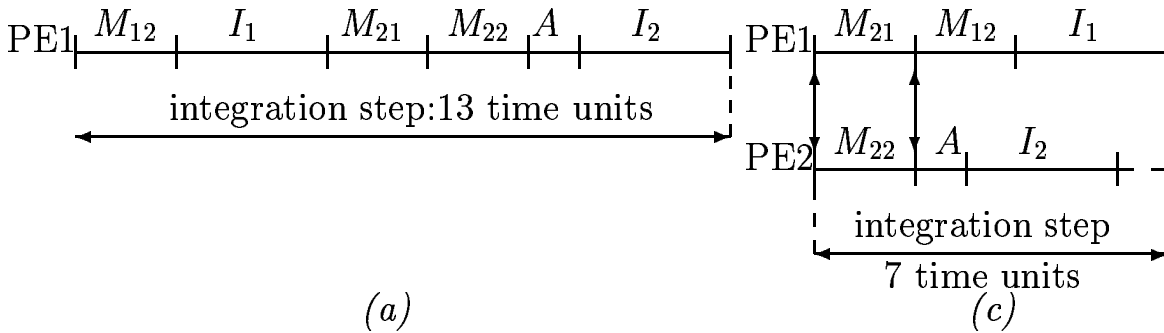


Diagrama timpului pt. $y_1' = a_{12}y_2$, $y_2' = a_{21}y_1 + a_{22}y_2$ unde M =multiplicare, A =adunare I = integrare cu metoda Euler $y_{n+1} = y_n + hf(t_n, y_n)$



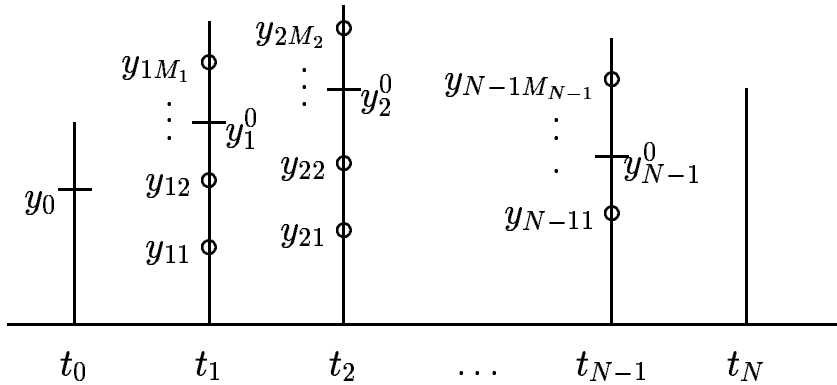
(a) procesare serială (b) procesare paralelă la nivel de sarcină majoră (c) la nivel de sarcină medie (d) la nivel de sarcină minoră

Paralelism în metodă

1. Metoda Nivergelt

Se face o predicție y_i^0 a soluției $y(t_i)$, $i = \overline{1, N}$.

Pt. fiecare t_i : sunt alese $y_{ij} \in \mathcal{V}(y_i^0)$, $j = \overline{1, M_i}$.



Se rezolvă simultan cu aceeași metodă numerică IVPurile:

$$y' = f(t, y), y(t_0) = y_0, a \leq t \leq t_1,$$

$$y' = f(t, y), y(t_i) = y_{ij}, t_i \leq t \leq t_{i+1}, j = \overline{1, M_i}, i = \overline{1, N-1}.$$

Aproximația finală u_i la $y(t_i)$, $i = \overline{1, N}$:

- (a) u_1 este valoarea unică la t_1 ;
- (b) u_i este determinat prin interpolare $Y(t_i, y)$ la $y = u_{i-1}$ utilizând perechile $(y_{i-1j}, Y(t_i, y_{i-1j}))$, $j = \overline{1, M_{i-1}}$, $i = \overline{3, N}$.

Avantaje: viteza alg. par. teroretică este un factor de N ; metoda a iscat o discuție asupra clasei de metode numerice paralele.

Dezavantaje:

- (a) este necesar un număr excesiv de procesoare ($1 + \sum_{i=1}^{N-1} M_i$);
- (b) nu este o metodă practică.

2. Tehnica de înclinare a frontului de calcul

- (a) metode predictor-corector (PC);

Ex:

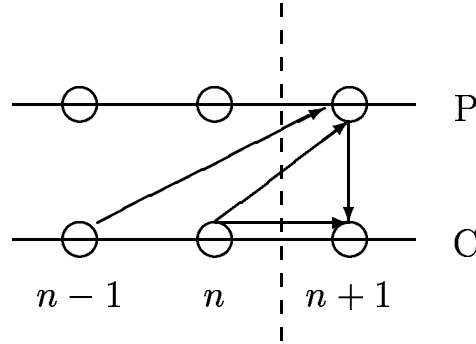
- metoda serială a trapezului $y_{n+1} = y_n + \frac{h}{2}(f_n + f_{n+1})$ poate fi aplicată ... în mod PC serial

$$y_{n+1}^P = y_n^C + \frac{h}{2} [3f_n^C - f_{n-1}^C],$$

$$y_{n+1}^C = y_n^C + \frac{h}{2} [f_{n+1}^P + f_n^C].$$

Secvența de calcule: $y_{n+1}^P \rightarrow f_{n+1}^P \rightarrow y_{n+1}^C \rightarrow f_{n+1}^C \rightarrow$

Frontul de calcul a metodei seriale:

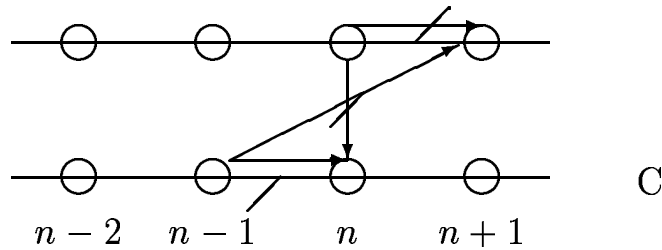


... în mod PC paralel

$$\begin{aligned} y_{n+1}^P &= y_{n-1}^C + 2hf_n^P, \\ y_n^C &= y_{n-1}^C + \frac{h}{2}(f_n^P + f_{n-1}^C). \end{aligned}$$

Secvența de calcule: $\rightarrow y_{n+1}^P \rightarrow f_{n+1}^P \rightarrow, \rightarrow y_n^C \rightarrow f_n^C \rightarrow$

Frontul de calcul a metodei paralele:



• metode noi pentru un număr date de procesoare:

(i) metode PC în bloc; de ex:

$$\begin{cases} y_{2n+1}^P = y_{2n-2} + 4hf_{2n}^P, \\ y_{2n+1}^P = y_{2n-2} + \frac{3h}{2}(f_{2n}^P + f_{2n-1}^P) \\ y_{2n} = y_{2n-3} - \frac{h}{2}(3f_{2n}^P - 9f_{2n-1}^P), \\ y_{2n-1} = y_{2n-3} + 2hf_{2n-2}^P \end{cases}$$

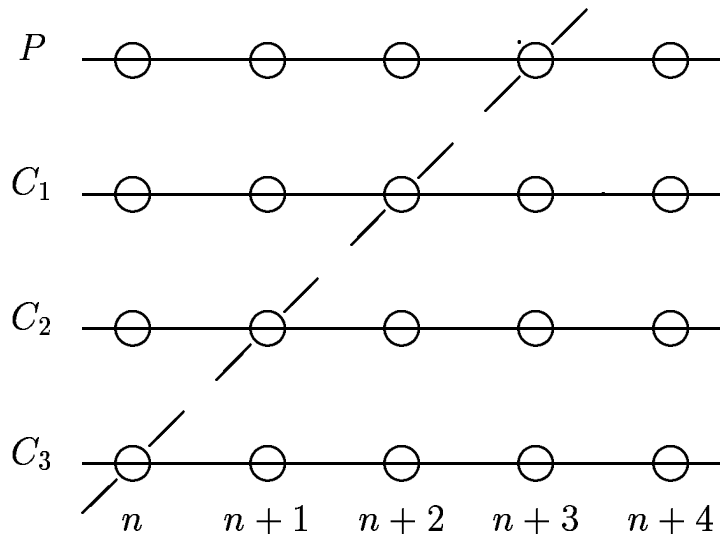
(ii) corecții concurente:

$$P : \quad y_{n+4}^{(0)} = y_n^{(3)} + h \left(\frac{8}{3}f_{n+3}^{(0)} - \frac{4}{3}f_{n+2}^{(1)} + \frac{8}{3}f_{n+1}^{(2)} \right),$$

$$C_1 : \quad y_{n+3}^{(1)} = y_n^{(3)} + h \left(\frac{3}{8}f_{n+3}^{(0)} + \frac{9}{8}f_{n+2}^{(1)} + \frac{9}{8}f_{n+1}^{(2)} + \frac{3}{8}f_n^{(3)} \right),$$

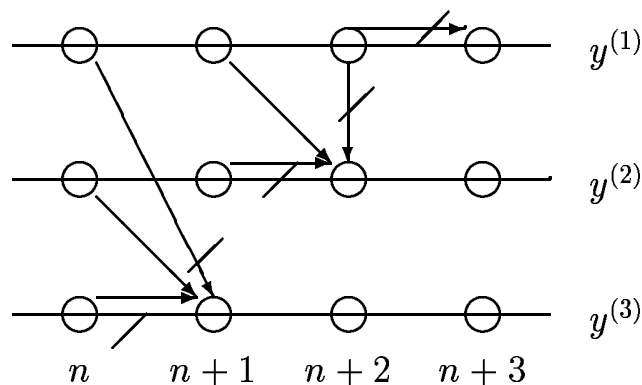
$$C_2 : \quad y_{n+2}^{(2)} = y_n^{(3)} + h \left(\frac{1}{3}f_{n+2}^{(1)} + \frac{4}{3}f_{n+1}^{(2)} + \frac{1}{3}f_n^{(3)} \right),$$

$$C_3 : \quad y_{n+1}^{(3)} = y_n^{(3)} + h \left(\frac{9}{24}f_{n+1}^{(2)} + \frac{19}{24}f_n^{(3)} - \frac{5}{24}f_{n-1}^{(3)} + \frac{1}{24}f_{n-2}^{(3)} \right).$$



(b) metode *Runge-Kutta*. Ex:

$$\begin{aligned}
 k_{1,n+1} &= hf(x_{n+2}, y_{n+2}^{(1)}), \\
 y_{n+3}^{(1)} &= y_{n+2}^{(1)} + k_{1,n+1} \\
 k_{2,n+1} &= hf(x_{n+1} + \alpha h, y_{n+1}^{(1)} + \alpha k_{1,n+1}), \\
 y_{n+2}^{(2)} &= y_{n+1}^{(1)} + \left(1 - \frac{1}{2\alpha}\right) k_{1,n+1} + \frac{1}{2\alpha} k_{2,n+1} \\
 k_{3,n+1} &= hf\left(x_n + \alpha_1 h, y_n^{(2)} + \left(\alpha_1 - \frac{1}{6\alpha}\right) k_{1,n} + \frac{1}{6\alpha} k_{2,n}\right), \\
 y_{n+1}^{(3)} &= y_n^{(3)} + \left(\frac{2\alpha_1 - 1}{2\alpha}\right) (k_{1,n} - k_{2,n}) + k_{3,n}
 \end{aligned}$$



(c) metode *bloc*. Ex: o schemă paralela uni-pas implicită

$$\begin{aligned}
 y_{n+1} &= y_n + \frac{h}{720}(251f_n + 646f_{n+1} - 264f_{n+2} + 106f_{n+3} - 19f_{n+4}), \\
 y_{n+2} &= y_n + \frac{h}{90}(29f_n + 124f_{n+1} + 24f_{n+2} + 4f_{n+3} - f_{n+4}), \\
 y_{n+3} &= y_n + \frac{3h}{80}(9f_n + 34f_{n+1} + 24f_{n+2} + 14f_{n+3} - f_{n+4}), \\
 y_{n+4} &= y_n + \frac{2h}{45}(7f_n + 32f_{n+1} + 12f_{n+2} + 32f_{n+3} + 2f_{n+4}),
 \end{aligned}$$

Avantaje: ușor de implementat.

Dezavantaje:

- (a) caracteristici de stabilitate slabe,
 - (b) grad redus de acuratețe,
 - (c) grad redus de paralelism,
 - (d) viteza alg. paralel depinde într-o anumită măsură de sistemul ODE.
-

3. Metode de extrapolare

Pp.

- (a) $h_1 > h_2 > h_3 > \dots$,
- (b) $n_i = T/h_i$,
- (c) o metodă numerică de ordin p care furnizează $T_{i,0} = y_{n_i}$ utilizând h_i ,
- (d) polinomul de interpolare

$$P(h) = e_0 + e_p h^p + e_{p+1} h^{p+1} + \dots + e_{p+k-1} h^{p+k-1},$$

$$P(h_i) = T_{i,0}, \quad i = j - k, \dots, j$$

Se extrapolează $T_{j,k} = P(0)$.

Tabelul de extrapolare

$T_{j,0}$				
	$T_{j-1,1}$			
\vdots	\vdots	\dots	$T_{j,k}$	
	$T_{j-k+1,1}$			
$T_{j-k,0}$				
ordin p	ordin $p + 1$	\dots	ordin $p + k$	

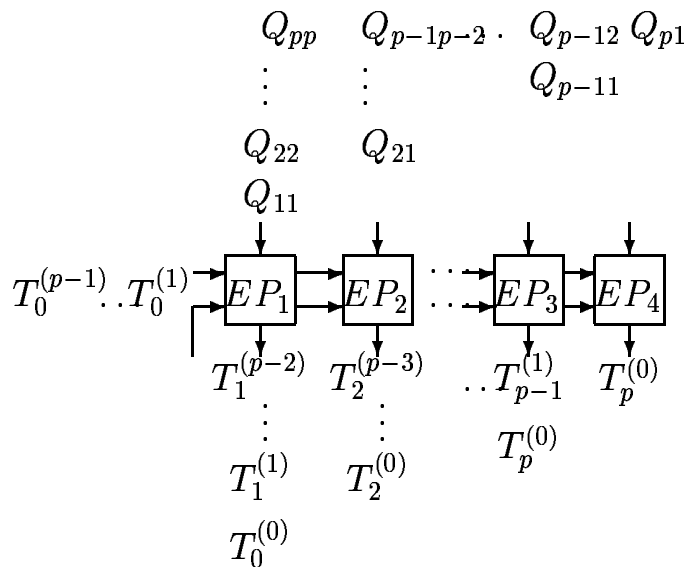
Ex: regula rombului pt. $p = 2$, metoda Euler, $h_i = h_{i-1}/2$, $Q_{ij} = h_j^2/h_{i+1}^2$:

$$T_{-1}^i = 0, \quad T_k^{(i)} = T_{k-1}^{(i+1)} + \frac{T_{k-1}^{(i+1)} - T_{k-1}^{(i)}}{\left(\frac{h_i}{h_{i+k}}\right)^p \left(1 - \frac{T_{k-1}^{(i+1)} - T_{k-1}^{(i)}}{T_{k-1}^{(i+1)} - T_{k-2}^{(i+1)}}\right) - 1}.$$

Avantaje: paralelism intrinsec, stabilitate înaltă și proprietăți bune de acuratețe.

Dezavantaje: structură specială pt. rețea de interconectare procesoare.

Structura unei matrice sistolice pt. generarea tabloului de extrapolare:



4. Tehnica digrafului pentru metode Runge-Kutta

Metodă Runge-Kutta:

$$y_{n+1} = y_n + h \sum_{l=1}^m b_l k_l,$$

$$k_i = f(t_n + hc_i, y_n + h \sum_{l=1}^n a_{il} k_l), \quad i = \overline{1, m}$$

Tabloul Butcher:

c_1	a_{11}	\dots	a_{1m}
\vdots	\vdots		\vdots
c_m	a_{m1}	\dots	a_{mm}
	b_1	\dots	b_m

Digraful (graf direct) $G = (V, E)$ a matricei A :

- (a) $V = \{1, \dots, m\}$
- (b) $(i, j) \in E$ if $i, j \in V$ și $a_{ij} \neq 0$.

Metodă de tip I:

$$\frac{c_1}{\rho_1} \left| \begin{array}{c} A_1 \\ b_1^T \end{array} \right. + \dots + \frac{c_\nu}{\rho_\nu} \left| \begin{array}{c} A_\nu \\ b_\nu^T \end{array} \right.$$

$$y_{n+1} = \rho_1 y_{n+1}^{(1)} + \dots + \rho_\nu y_{n+1}^{(\nu)}$$

1. Vârfurile v_1, \dots, v_s , unde $s \geq 2$ formează un s -ciclu dacă $v_i \neq v_{i+1}$, $i = \overline{1, s}$: $\{v_i, v_{i+1}; i = \overline{1, s}\} \subseteq E$ or $\{(v_{i+1}, v_i) : i = \overline{1, s}\} \subseteq E$, where $v_{s+1} = v_1$.
2. Fie σ lungimea celui mai lung ciclu din digraf.
3. *partiționare pe procesoare*: se pp. că mulțimea V este partiționată în ν submulțimi disjuncte nevide: $\{1, \dots, m\} = \cup_{i=1}^\nu \mathcal{P}_i$, $\mathcal{P}_1, \dots, \mathcal{P}_\nu \neq \emptyset$, $\mathcal{P}_i \cap \mathcal{P}_j = \emptyset$, $\forall i \neq j$

4. *partiționare pe nivele*: fiecare \mathcal{P}_l , $\mathcal{P}_l = \cup_{i=1}^{\mu} \mathcal{L}_{li}$, $i = \overline{1, \mu}$ este partiționat, unde $\mathcal{L}_{li} \cap \mathcal{L}_{lj} = \emptyset$ pt. toți $i \neq j$ (\mathcal{L}_{li} poate fi \emptyset , dar pt. anumiți $r \in \{1, \dots, \nu\}$, $\mathcal{L}_{rj} \neq \emptyset$, $j = \overline{1, n}$ pt. anumit $\mu \geq 1$). Aceasta este o partiționare pe nivele dacă are loc următoarea condiție:

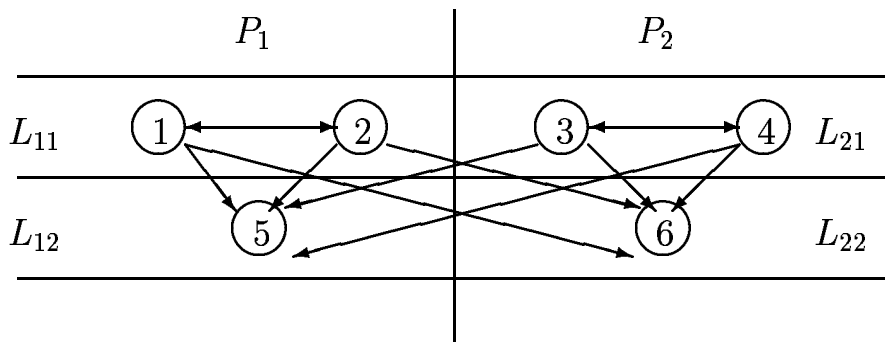
- (a) pt. fiecare $l = \overline{1, \nu}$ și $j = \overline{1, \mu}$, toate vârfurile din \mathcal{L}_{lj} aparțin unui ciclu.
- (b) dacă $a_{ij} \neq 0$ atunci fie că există $p \in \{1, \dots, \mu\}$ și $r, s \in \{1, \dots, \mu\}$ such that $r \leq s$, $i \in \mathcal{L}_{ps}$, $j \in \mathcal{L}_{pr}$ sau există $q, t \in \{1, \dots, \nu\}$ and $r, s \in \{1, \dots, \mu\}$ a.î. $q \neq t$, $r < s$, $i \in \mathcal{L}_{ts}$, $j \in \mathcal{L}_{qr}$.

Ex:

Method	RK matrix	Digraph
(a)	<pre> XX00 XX00 00XX 00XX </pre>	
(b)	<pre> X000 OX00 XXX0 XXOX </pre>	
(c)	<pre> XX0000 XX0000 00XX00 00XX00 XXXXX0 XXXXOX </pre>	
(d)	<pre> X00000 OX0000 00X000 XXXX00 XXXOX0 XXX00X </pre>	

O combinație de partiționare pe procesoare și nivele a unei metode σ -implicite este numită $\{\nu, \mu, \sigma\}$ *implementare*.

Ex: o implementare $\{2, 2, 2\}$ a metodei (c)



Avantaje:

- (a) costul calculului a unei implementări seriale poate fi redus.
- (b) se prezervă proprietățile de stabilitate și acuratețe ale metodei seriale.

Dezavantaje: grad scăzut de paralelism..

METODE PARALELE PENTRU ECUAȚII DIFERENȚIALE ORDINARE - PARTEA II

Cum? Utilizând metode multivalori și tehnici paralele bazate pe

- paralelism în sistem;
- parallelism în metodă;
- parallelism în timp.

Paralelism în metodă

1. Metoda Nivergelt
 2. Tehnica de înclinare a frontului de calcul
 3. Metode de extrapolare
 4. Tehnica digrafului pentru metode Runge-Kutta
-

5. Transformarea ecuațiilor etapelor din scheme Runge-Kutta

Metoda RK:

$$\begin{aligned}y_{n+1} &= y_n + h(b^T \otimes I)F(t_n, Y), \\ Y &= e \otimes y_n + h(A \otimes I)F(t_n, Y),\end{aligned}$$

unde

$$\begin{aligned}Y &= (Y_1, \dots, Y_q)^T \in \mathbb{R}^{qn}, \\ F(t, Y) &= (f(t + c_1 h, Y_1), \dots, f(t + c_q h, Y_q))^T\end{aligned}$$

Transformare:

$$\begin{aligned}y_{n+1} &= y_n + d^T Z, \\ Z &= h(A \otimes I)F(t_n, e \otimes y_n + Z),\end{aligned}$$

unde $Z = Y - e \otimes y_n$ și $d^T = b^T A^{-1}$.

Se utilizează iterațiile Newton simplificate:

$$\begin{aligned}Z^{(k+1)} &= Z^{(k)} + \Delta Z^{(k)}, \quad k = 0, 1, \dots \\ (I - hA \otimes J)\Delta Z^{(k)} &= -Z^{(k)} + h(A \otimes I)F(t_n, e \otimes y_n + Z^{(k)})\end{aligned}$$

cu $Z^{(0)} = e \otimes f(t_n, y_n)$.

Dacă $\Lambda = T^{-1}A^{-1}T$ și $W^{(k)} = (T^{-1} \otimes I)Z^{(k)}$,

$$\begin{aligned}W^{(k+1)} &= W^{(k)} + \Delta W^{(k)}, \quad k = 0, 1, \dots \\ (h^{-1}\Lambda \otimes I - I \otimes J)\Delta W^{(k)} &= -h^{-1}(\Lambda \otimes I)W^{(k)} + \\ &\quad + (T^{-1} \otimes I)F(t_n, e \otimes y_n + (T \otimes I)W^{(k)})\end{aligned}$$

Caz 1: Λ este o matrice diagonală: $\Lambda = \text{diag}(\lambda_1, \dots, \lambda_q)$.

q sisteme liniare de dimensiune n :

$$\begin{aligned} w_i^{(k+1)} &= w_i^{(k)} + \Delta w_i^{(k)}, \quad k = 0, 1, \dots \\ (h^{-1}\lambda_i I - J)\Delta w_i^{(k)} &= -h^{-1}\lambda_i w_i^{(k)} + G_i^{(k)}, \end{aligned}$$

unde $i = 1, 2, \dots, q$, $(w_1^{(k)}, \dots, w_q^{(k)})^T = W^{(k)}$,

$$G^{(k)} = (T^{-1} \otimes I)F(t_n, e \otimes y_n + (T \otimes I)W^{(k)}).$$

Ex:

- metode implicit-diagonale DIRK (A inferior triunghiular), $\lambda_1 = \dots = \lambda_q$

$$\begin{array}{c|cc} c_1 & c_1 & 0 \\ \frac{1}{2} + \frac{1}{12} \left(\frac{1}{2} - c_1\right)^{-1} & \frac{1}{6} \left(\frac{1}{2} - c_1\right)^{-1} & \left(\frac{1}{6} - \frac{1}{2}c_1\right) \left(\frac{1}{2} - c_1\right)^{-1} \\ \hline & \frac{1}{12} \left(c_1^2 - c_1 + \frac{1}{3}\right)^{-1} & \left(\frac{1}{2} - c_1\right)^2 \left(c_1^2 - c_1 + \frac{1}{3}\right) \end{array}$$

cu $y(t_n) - y_n = \mathcal{O}(h^3)$.

- metode multi-implicit-diagonale MIRK ($\lambda_i \neq \lambda_j$, for $i \neq j$),

$$\begin{array}{c|cc} \tau_1 & \tau_1 \left(\tau_2 - \frac{1}{2}\tau_1\right) / (\tau_2 - \tau_1) & -\frac{1}{2}\tau_1^2 / (\tau_2 - \tau_1) \\ \tau_2 & \frac{1}{2}\tau_2^2 / (\tau_2 - \tau_1) & \tau_2 \left(\frac{1}{2}\tau_2 - \tau_1\right) / (\tau_2 - \tau_1) \\ \hline & \left(\tau_2 - \frac{1}{2}\right) / (\tau_2 - \tau_1) & \left(\frac{1}{2}\tau_2 - \tau_1\right) / (\tau_2 - \tau_1) \end{array}$$

unde $\tau_1 = \lambda_1 + \lambda_2 - \sqrt{\lambda_1^2 + \lambda_2^2}$, $\tau_2 = \lambda_1 + \lambda_2 + \sqrt{\lambda_1^2 + \lambda_2^2}$, $\lambda_2 = (\lambda_1/2 - 1/6)/(\lambda_1 - 1/2)$, $\lambda_1 > 0$, $y(t_n) - y_n = \mathcal{O}(h^3)$.

Caz 2: Λ este o matrice bloc-diagonală. Pp. q este par. Se vor rezolva $q/2$ sisteme liniare de dimensiune $2n$:

$$\begin{aligned} \begin{pmatrix} w_{2i}^{(k+1)} \\ w_{2i+1}^{(k+1)} \end{pmatrix} &= \begin{pmatrix} w_{2i}^{(k)} \\ w_{2i+1}^{(k)} \end{pmatrix} + \begin{pmatrix} \Delta w_{2i}^{(k)} \\ \Delta w_{2i+1}^{(k)} \end{pmatrix}, \quad k = 0, 1, \dots \\ \begin{pmatrix} h^{-1}\text{Re } \lambda_i I - J & -h^{-1}\text{Im } \lambda_i I \\ h^{-1}\text{Im } \lambda_i I & h^{-1}\text{Re } \lambda_i I - J \end{pmatrix} \begin{pmatrix} \Delta w_{2i}^{(k)} \\ \Delta w_{2i+1}^{(k)} \end{pmatrix} &= \\ &= -h^{-1} \begin{pmatrix} \text{Re } \lambda_i I & -\text{Im } \lambda_i I \\ \text{Im } \lambda_i I & \text{Re } \lambda_i I \end{pmatrix} \begin{pmatrix} w_{2i}^{(k)} \\ w_{2i+1}^{(k)} \end{pmatrix} + \begin{pmatrix} G_{2i}^{(k)} \\ G_{2i+1}^{(k)} \end{pmatrix}, \end{aligned}$$

unde $i = 1, \dots, q/2$, $(w_1^{(k)}, \dots, w_q^{(k)})^T = W^{(k)}$,

$$G^{(k)} = (T^{-1} \otimes I)F(t_n, e \otimes y_n + (T \otimes I)W^{(k)}).$$

Ex.: metode Gauss, Radau IA, Radau IIA și Lobatto IIIC cu q par, și ordin $2q$, $2q - 1$, $2q - 1$ și $2q - 2$. Pt. Lobatto IIIC cu $q = 4$ etape

$$\begin{array}{c|cccc} 0 & 1/12 & -\sqrt{5}/12 & \sqrt{5}/12 & -1/2 \\ (5 - \sqrt{5})/10 & 1/12 & 1/4 & (10 - 7\sqrt{5})/60 & \sqrt{5}/60 \\ (5 + \sqrt{5})/10 & 1/12 & (10 + 7\sqrt{5})/60 & 1/4 & -\sqrt{5}/60 \\ 1 & 1/12 & 5/12 & 5/12 & 1/12 \\ \hline & 1/12 & 5/12 & 5/12 & 1/12 \end{array}$$

matricea Λ este

$$\Lambda = \begin{pmatrix} 2.22098 & -4.16039 & 0 & 0 \\ 4.16039 & 2.22098 & 0 & 0 \\ 0 & 0 & 3.77902 & -1.38018 \\ 0 & 0 & 1.38018 & 3.77902 \end{pmatrix}$$

Avantaje: stabilitate și acuratețe specifice metodelor RK.

Dezavantaje:

- (a) tehnica nu poate fi aplicată la orice schemă;
- (b) grad mic de paralelism.

.....

6. Metode PIRK

PIRK = metodă diagonal-iterativă tip Runfge-Kutta paralelă.
metoda RK:

$$Y - hAf(et_n + ch, Y) = ey_n + haf(t_n, y_n)$$

$$y_{n+1} = y_n = hb_0f(t_n, y_n) + hb^T f(et_n + ch, Y)$$

Proces iterativ:

$$Y^{(1)} - hDf(et_n + ch), Y^{(1)} = ey_n + ahf(t_n, y_n) +$$

$$+ hAf(et_n + c^*h, Y^{(0)}) - hDf(et_n + c^*h, Y^{(0)})$$

$$Y^{(j+1)} - hDf(et_n + ch), Y^{(j+1)} = ey_n + ahf(t_n, y_n) +$$

$$+ hAf(et_n + ch, Y^{(j)}) - hDf(et_n + ch, Y^{(j)}),$$

unde

$$j = 0, \dots, m - 1,$$

c^* depind de formula predictor $Y^{(0)}$,

$D = \text{diag}(D)$, și

$$y_{n+1} = y_n + hb_0f(t_n, y_n) + hb^T f(et_n + ch, Y^{(m)})$$

$$Y^{(0)} = ey_n + hEf(et_n, ey_n) + hBf(et_n + c^*h, Y^{(0)})$$

(de exemplu $E = 0, B = D$)

D este ales astfel înc at:

1. $D = 0$: este metodă iterativă explicită pentru probleme nerigide;
2. condiții de stabilitate înalte pentru a prescrie numărul de iterații m ;
3. $D = \text{diag}(A)$: iterațiide tip Jacobi neliniare cu o convergență slabă;
4. $\min\sigma(A - D)$ pentru reducerea erorii în componentele nerigide;
5. termen de eroare cel mai mic din eroarea de trunchiere este minimizat;
6. varianta funcției de stabilitate: convergență rapidă a funcției de stabilitate a metodei iterative la metoda RK de bază ($\min\sigma(I - D^{-1}A)$);

Avantaje: înalt grad de paralelism în exploatarea metodelor RK.

Dezavantaj: metoda este echivalentă cu una DIRK (adică se impun anumite restricții asupra acurateții metodei)

.....
7. Metode DIMSIM

Metode general liniare:

$$Y_i = h \sum_{j=1}^s c_{ij}^{11} f(Y_j) + \sum_{j=1}^r c_{ij}^{12} y_j^{[n-1]}, \quad i = \overline{1, s}$$

$$y_i^{[n]} = h \sum_{j=1}^s c_{ij}^{21} f(Y_j) + \sum_{j=1}^r c_{ij}^{22} y_j^{[n-1]}, \quad i = \overline{1, r}$$

reprezentare prin matricea

$$C = \begin{pmatrix} C_{11} & C_{12} \\ C_{21} & C_{22} \end{pmatrix}$$

DIMSIM (metoda de integrare multi-etape diagonal implicite): C_{11} inferior triunghiular.

	C_{11}	rigid vs. nerigid	paralel vs. serial
Tip 1	strict inferior triunghiular	nerigid	serial
Tip 2	$\text{diag}(C_{11}) = \lambda I$	rigid	serial
Tip 3	$C_{11} = 0$	rigid	paralel
Tip 4	$C_{11} = \text{diag}(C_{11}) = \lambda I$	rigid	paralel

Avantaje: potențial intern de paralelism pt. o clasă mare de metode.

Dezavantaje: număr mic de articole referitoare a proprietățile unor asemenea metode.

.....
8. Integrarea unor sisteme ODE speciale

Fie sistemul ODE liniar:

$$y'(t) = A(t)y(t) + b(t)$$

(a) utilizând o metodă unipas (ex: schemă RK) se obține o relație recurentă de forma:

$$y_{n+1} = R_{n+1}y_n + b_n, \quad n = \overline{0, N-1}$$

(b) dacă $Q(t) \equiv Q$ se poate utiliza tehnica de descompunere (vezi metoda WR):

$$\frac{d}{dt}y^{(k+1)} + My^{(k+1)}(t) = Ny^{(k)}(t) + b(t)$$

unde $N - M = Q$.

(c) utilizând o metodă multipas liniară se obține un sistem liniar care se poate rezolva prin metode paralele.

Avantaje: grad înalt de paralelism.

Dezavantaje: paralelism nespecific pentru ODE-uri.

Paralelism în timp

Ex: Metoda relaxării în valuri (WR)

Metoda Picard: se dă $y^{(0)}(t) : [t_0, t_0 + T]$ o soluție aproximativă, și se caută $y^{(1)}(t), y^{(2)}(t), \dots$ a.î.

$$\frac{d}{dt}y^{(k+1)}(t) = f(t, y^{(k)}(t)), \quad y^{(k+1)}(t_0) = y_0.$$

Metode general continue în timp:

$$\begin{aligned} \frac{d}{dt}z^{(k+1)}(t) &= G(t, z^{(k+1)}(t), y^{(k+1)}(t), y^{(k)}(t)), \quad z^{(k+1)}(t_0) = y_0, \\ y^{(0)}(t_0) &= y_0, \\ y^{(k+1)}(t) &= g(t, z^{(k+1)}(t), y^{(k)}(t)), \end{aligned}$$

unde $G(t, y, y, y) = f(t, y)$, $g(t, y, y) = f(t, y)$ (splitting functions) decouple the ODE system into independent subsystems.

Ex.:

- WR-Jacobi

$$\frac{d}{dt}y_i^{(k+1)} = f_i(t, y_1^{(k)}, \dots, y_{i-1}^{(k)}, y_i^{(k+1)}, y_{i+1}^{(k)}, \dots, y_n^{(k)}), \quad i = \overline{1, n}$$

- WR-Gauss-Seidel
- WR-SOR
- WR-Newton

$$\frac{d}{dt}y^{(k+1)} = f(t, y^{(k)}) + f_y(t, y^{(k)})(y^{(k+1)} - y^{(k)})$$

Metode de integrare: metode RK continue. Ex: se utilizează metoda Heun

$$\begin{aligned} Y_{n+1}^1 &= y_n \\ Y_{n+1}^2 &= y_n + h_{n+1}f(t_n, Y_{n+1}^1) \\ y_{n+1} &= y_n + \frac{1}{2}h_{n+1}[f(t_n, Y_{n+1}^1) + f(t_{n+1}, Y_{n+1}^2)] \end{aligned}$$

și interpolarea liniară

$$y_{n+\theta} = y_n + \frac{1}{2}h_{n+1}[f(t_n, Y_{n+1}^1) + f(t_{n+1}, Y_{n+1}^2)]$$

se obține metoda WR-Jacobi-Heun.

Avantaje: grad înalt de paralelism.

Dezavantaje: convergență înceată la soluția exactă (grad mic de acuratețe).

METODE PARALELE CU DIFERENȚE PENTRU ECUAȚII CU DERIVATE PARȚIALE

0. Problema de test:

Ecuția Poisson pe domeniul $\Omega \subset \mathbb{R}^2$

$$\forall (x, y) \in \Omega : -\Delta u = f(x, y).$$

Δ =operator pt. ec. de 2 ori dif. $u(x, y)$

$$\Delta u = \frac{\partial^2 u}{\partial x^2} + \frac{\partial^2 u}{\partial y^2}.$$

Pp. $\Omega = (a, b) \times (c, d)$.

Cond. frontieră: $\left\{ \begin{array}{l} \text{Dirichlet: } u(a, y) = g(y), \forall y \in (c, d) \\ \text{Neumann: } \frac{\partial u}{\partial y}(c, d) = g(x), \forall x \in (a, b), \frac{\partial u}{\partial x}(b, y) = g(y), \forall y \in (c, d). \\ \text{periodice: } u(a, y) = u(b, y), \forall y \in (c, d) \text{ express periodicity in } x. \\ \text{combinare condiții} \end{array} \right.$

Problema clasică: $\left\{ \begin{array}{l} -\Delta u = f(x, y), \quad \forall (x, y) \in \Omega \\ u(x, y) = g(x, y), \quad \forall (x, y) \in \partial\Omega. \end{array} \right.$

discretizată pe grila $M \times N$ cu pct. $(x_i, y_j), \forall (i, j) \in \{0, \dots, M\} \times \{0, \dots, N\}$.

$$\Delta u(x, y) = \frac{u(x-h, y) + u(x+h, y) + u(x, y-h) + u(x, y+h) - 4u(x, y)}{h^2} + \mathcal{O}(h^2),$$

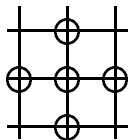
Fie $u(x_i, y_j) \approx u_{ij}$ și $f_{ij} = f(x_i, y_j)$

Formularea problemei Poisson discrete

$$(4u_{ij} - u_{i-1j} - u_{i+1j} - u_{ij-1} - u_{ij+1})/h^2 = f_{ij}.$$

$((M-1)(N-1)$ ecuații, valorile u_{ij} din interior grilă sunt necunoscute),

Discretizarea de mai sus - cu 5 puncte:



Rescriere: $U_{(j-1)(M-1)+i-1} = u_{ij}$.

$$(4U_l - U_{l-1} - U_{l+1} - U_{l-M+1} - U_{l+M-1})/h^2 = f_{ij},$$

cu $l = (j-1)(M-1) + i - 1$. Fie $b_{(j-1)(M-1)+i-1} = f_{ij}$ + termeni frontieră.

Atunci

$$AU = f - Bg$$

formulare matriceală problema Poisson discretă.

Obs: metode de rezolvare țin seama că A este rară.

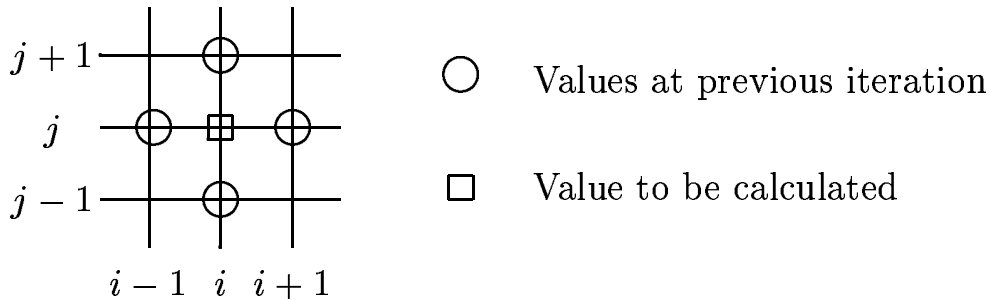
1. Metoda Jacobi punctuală

Metoda de relaxare Jacobi:

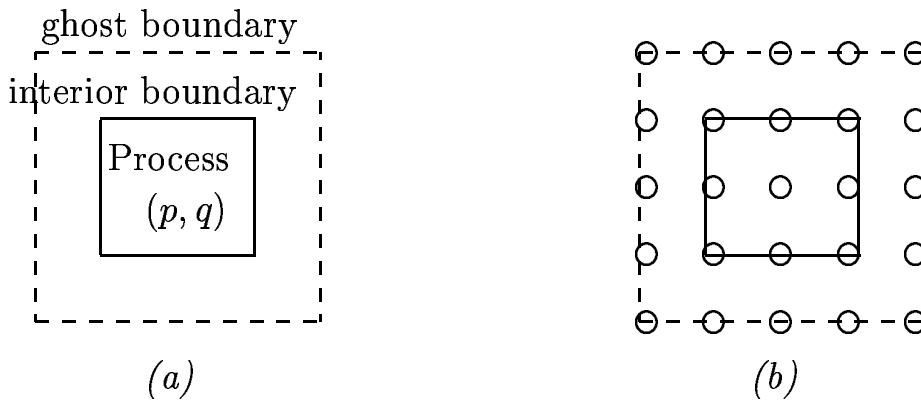
$$u_{ij}^{(p+1)} = \frac{1}{4}(u_{i-1j}^{(p)} + u_{i+1j}^{(p)} + u_{ij-1}^{(p)} + u_{ij+1}^{(p)} - q_{ij}).$$

Stop: $|u_{ij}^{(p+1)} - u_{ij}^{(p)}| < \varepsilon \forall i, j$

Obs: calculele se pot efectua în paralel!

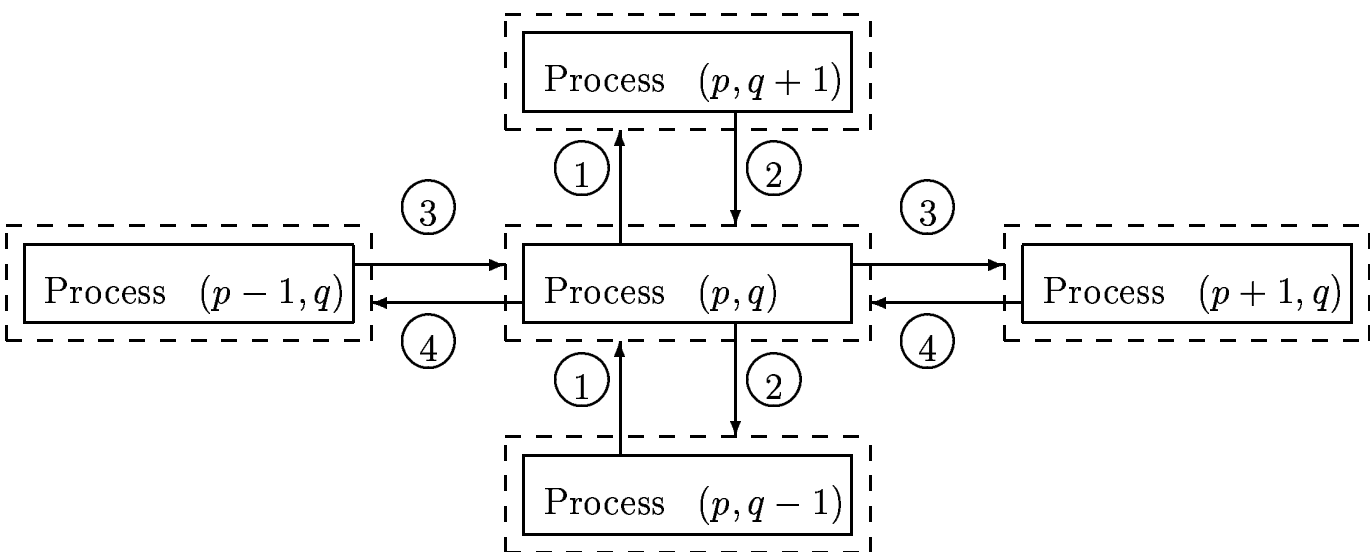


VARIANTĂ: mai multe pct. sunt alocate unui procesor.



Fiecare pas are 2 faze: relaxare locală și schimb la frontiera-fantomă.

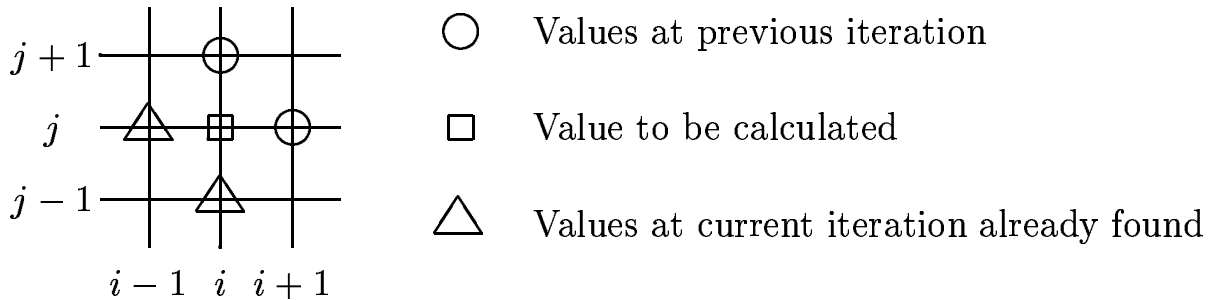
Schimbul la frontiere se face în etape:



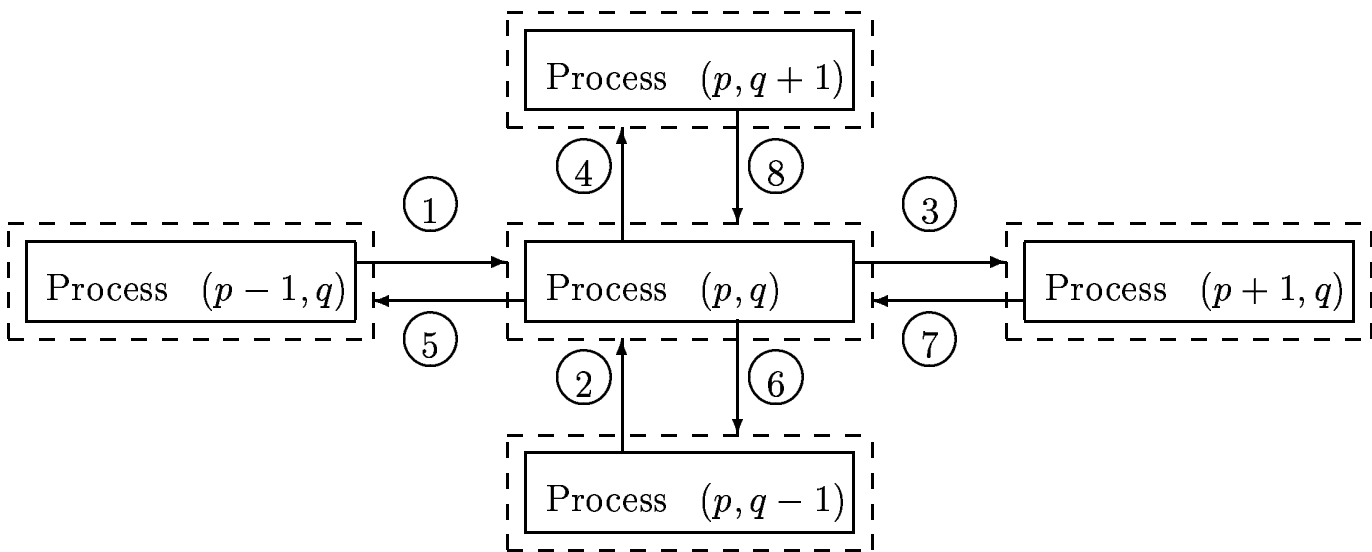
2. Metoda punctuală Gauss-Seidel

Iterații:

$$u_{ij}^{(p+1)} = \frac{1}{4}(u_{i,j-1}^{(p+1)} + u_{i-1,j}^{(p+1)} + u_{i,j+1}^{(p)} + u_{i+1,j}^{(p)} - q_{ij}).$$



Schimbul la frontiere se face astfel:



Factor de convergență:

$$\rho_J = 1 - \frac{h^2}{2} + \mathcal{O}(h^4), \quad \rho_{GS} = 1 - h^2 + \mathcal{O}(h^4)$$

cu h interspații grilă

Obs:

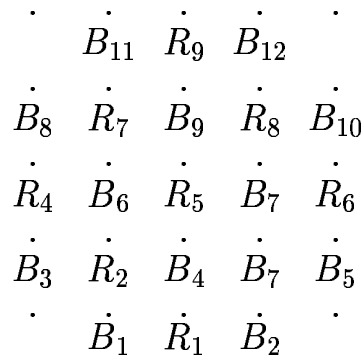
1. Proces (0,0) activ, celelalte așteaptă; apoi procesele (1,0) și (0,1) devin active etc. (în valuri).
2. Odată ce primul val lucrează la iterația k propagates, procesele anterioare pot lucra la iterația $k + 1$.

5				
4	5			
3	4	5		
2	3	4	5	
1	2	3	4	5

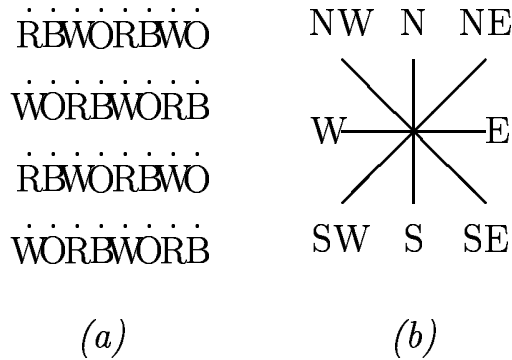
3. Metoda tablei de șah (ordonare roșu-negru sau alb-negru)

Idee:

1. metoda GS în loc de valori numai pe 2 nivele
2. pct. negre actualizate primele, celelalte după.



Variantă: multicolorare pt. alte tipuri de aprox. derivate; ex: ordonare pe 3 culori pt. scheme cu 9-puncte



Alte metode: metode cu grile adaptive, grile rare, metoda SOR (supra-relaxare GS cu ordonare roșu-negru etc.

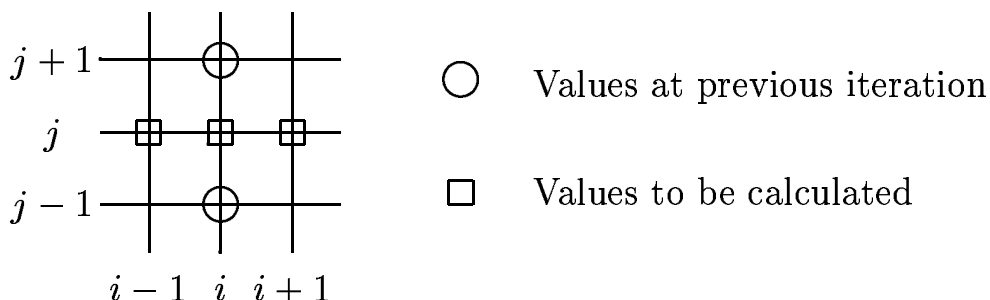
4. Metode de relaxare în linie

Idee: o întreagă linie de ct. este relaxată simultan; ex: metoda Jacobi

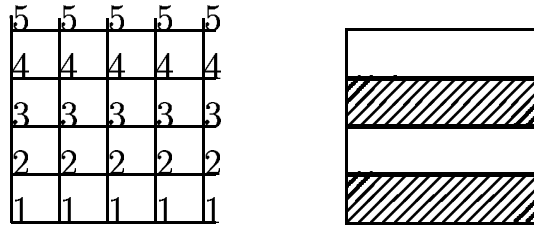
$$u_{i-1j}^{(p+1)} - 4u_{ij}^{(p+1)} + u_{i+1j}^{(p+1)} = q_{ij} - u_{ij+1}^{(p)} - u_{ij-1}^{(p)}$$

(la un pas, linia j în direcția x este relaxată)

Obs: un sistem de ec. liniare cu cu matrice tridiagonală $T = \text{tridiag}(-1, 4, -1)$ trebuie rezolvată la fiecare pas (ex: în paralel cu metoda de reducere ciclică par-impair)



Metodele Gauss-Seidel și SOR: similare.
 Metoda pe 2 nivele → metoda „zebrei”



5. Metode bloc iterative

Metoda GS punctuală:

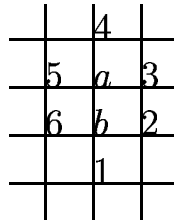
$$x_i = \frac{b_i - \sum_{j \neq i} a_{ij} x_j}{a_{ii}}, \quad i = \overline{1, n}$$

Metoda GS în bloc:

$$\sum_{j \in \text{block}_l} a_{ij} x_j = b_i - \sum_{j \notin \text{block}_l} a_{ij} x_j, \quad i \in \text{block}_l, \quad l \geq 1.$$

Caz particular: relaxarea zebra pt. blocuri egale cu linii

Ex:



Din

$$u_a = \frac{1}{4}(u_b + u_3 + u_4 + u_5 - q_a),$$

$$u_b = \frac{1}{4}(u_1 + u_2 + u_a + u_6 - q_b),$$

se obține

$$u_a = \frac{1}{15}[4(u_3 + u_4 + u_5 - q_a) + u_1 + u_2 + u_6 - q_b],$$

$$u_b = \frac{1}{15}[4(u_1 + u_2 + u_6 - q_b) + u_3 + u_4 + u_5 - q_a].$$

Astfel se obțin ec. independente care pot fi evaluate simultan

$$u_{ij} = \frac{1}{15}[4(u_{i-1j} + u_{ij+1} + u_{ij-1} - q_{ij}) + u_{i+1j+1} + u_{i+2j} + u_{i+1j-1} - q_{i+1j}],$$

$$u_{i+1j} = \frac{1}{15}[4(u_{i+1j+1} + u_{i+2j} + u_{i+1j-1} - q_{i+1j}) + u_{i-1j} + u_{ij+1} + u_{ij-1} - q_{ij}].$$

.....

6. Metoda direcțiilor alternante

Metoda ADI: $A = H + V$ și procesul iterativ

$$(a) \quad (H + \alpha_k I)x^{(k+1/2)} = (\alpha_k I - V)x^{(k)} + b,$$

$$(b) \quad (V + \alpha_k I)x^{(k+1)} = (\alpha_k I - H)x^{(k+1/2)} + b,$$

Obs:

1. (a) consistă în soluț. a N sisteme tridiagonale de mărime N coresp. linii orizontale,
 2. (b) tot N sisteme tridiagonale coresp. liniilor verticale
 3. sistemele pot fi rezolvate în paralel.
-

7. Probleme complexe

Ex:

$$au_{xx} + bu_{yy} + cu_{zz} = f, \quad 0 \leq x, y, z \leq 1$$

cu a, b, c funcții x, y și z .

Metoda cu diferențe cu 7-puncte și $h = \Delta x = \Delta y = \Delta z$

$$2(a_{ijk} + b_{ijk} + c_{ijk})u_{ijk} - a_{ijk}(u_{i+1jk} + u_{i-1jk}) - \\ - b_{ijk}(u_{ij+1k} + u_{ij-1k}) - c_{ijk}(u_{ijk+1} + u_{ijk-1}) = h^2 f_{ijk}.$$

METODELE MULTIGRILĂ, ELEMENTULUI FINIT, DESCOMPUNEREA DOMENIULUI, PARALELE PENTRU ECUAȚII CU DERIVATE PARȚIALE

Problema Poisson discretizată: $U : LU = F$

1. Metode multigrile

Idee:

1. Fie G^i , $i = 1, \dots, m$ o secvență de grile ce ocoeră domeniul de interes a.î. pasul grilei G^{i-1} este $2h_i$ unde h_i este pasul lui G^i
2. G^m este grila pe care se cere soluția, G^1 este grila cea mai rară.
3. Soluția aprox. u^m , a ec. $L^h U^h = F^h$ este obținută prin ietarții ale unei metode de relaxare pe G^m .
4. Pr. $i = m, \dots, 2$
 - (a) Restul $F^h + L^h u^i = f^i$ este transferat pe grila G^{i-1} printr-un proces numit injecție;
 - (b) O corecție a sol. u^i este calculată pe grila $G^{(i-1)}$.
 - (c) Soluția pe grila G^i va fi corectată utilizând informație interpolată din grilele G^{i-1} cu $i = \overline{2, m}$.

Ex. 1: problema Poisson uni-dimensională:

$$-\frac{d^2 u}{dx^2} = f(x), \quad \forall x \in (0, \pi), \quad \begin{cases} u(0) = g_0, \\ u(\pi) = g_\pi \end{cases}$$

discretizată pe grilă cu pas $h = \pi/M$

$$-u_i + 2u_i - u_{i+1} = h^2 f_i, \quad i = \overline{1, M-1}, \quad \begin{cases} u_0 = g_0 \\ u_M = g_\pi \end{cases}$$

în formularea matriceală

$$A_h u_h = b_h,$$

cu $A_h = \text{tridiag}(-1/h^2, 2/h^2, -1/h^2)$, și

$$b_h = \begin{pmatrix} f_1 + (u_0/h^2) \\ f_2 \\ \vdots \\ f_{M-2} \\ f_{M-1} + (u_M/h^2) \end{pmatrix}.$$

Metoda JOR:

$$u_m^{(t+1)} = \frac{\omega}{2}(f_m h^2 + u_{m+1}^{(t)} + u_{m-1}^{(t)}) + (1 - \omega)u_m^{(t)}, \quad m = \overline{1, M-1}.$$

corespunzătoare $G_h - H_h = A_h$, și convergența det. de $R_h = G_h^{-1}H_h$. Eroarea

$$v_h^{(t+1)} = R_h v_h^{(t)}, \quad v_h^{(t)} = u_h^* - u_h^{(t)}$$

și u_h^* soluția exactă.

Deci:

- se dă o estimare u_h^0 pt. soluția pe grila fină,
- se aplică K_1 [pași de relaxare pt. a obține u_h^1
- vectorii $v_h^0 = u_h^* - u_h^0$, $v_h^1 = u_h^* - u_h^1$, satisfac $v_h^1 = R_h^{K_1} v_h^0$;
- se estimează v_h^1 , pt. a îmbunătăți estimarea u_h^1 astfel:
 - (a) restul asociat cu u_h^1 , $d_h^1 = b_h - A_h u_h^1$ este calculat și legat de v_h^1 : $A_h v_h^1 = d_h^1$.
 - (b) v_h^1 se reprezintă prin interpolare v_H^1 : $v_h^1 \approx I_H^h v_H^1$.
 - (c) sistemul aprox. pt. v_H^1 : $A_h I_H^h v_H^1 \approx d_h^1$.
 - (d) sistemul este transferat pe grila mai rară: $(I_h^H A_h I_H^h) v_H^1 \approx I_h^H d_h^1$.
 - (e) operatorii sunt aleși a.î $I_h^H A_h I_H^h \approx A_H$.
 - (f) v_H^1 este definit prin $A_H v_H^1 = I_h^H d_h^1$
 - (g) v_h^1 se determină prin interpolare din v_H^1 .
- $u_h^1 + v_h^1 = u_h^2$ nouă estimare

Formal:

$$d_h^1 = b_h - A_h u_h^1, \quad d_H^1 = I_h^H d_h^1, \quad v_H^1 = A_H^{-1} d_H^1, \quad v_h^1 = I_H^h v_H^1, \quad u_h^2 = u_h^1 + v_h^1$$

sau în formă matriceală

$$u_h^2 = u_h^1 + I_H^h D_H^{-1} I_h^H (b_h - A_h u_h^1).$$

Operator I_H^h : $w_k^h = \begin{cases} (w_n^H + w_{n+1}^H)/2, & \text{if } k = 2n + 1 \\ w_n^H, & \text{if } k = 2n \end{cases}, \quad n = \overline{0, N-1}.$

Operator I_h^H : $w_n^H = (w_{2n-1}^h + 2w_{2n}^h + w_{2n+1}^h)/4, \quad n = \overline{1, N-1}.$

Ex. 2: metoda cu 2-grile pt. problema Poisson bi-dimensională

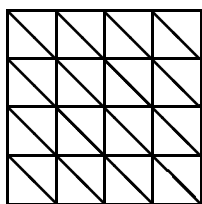
Pe $\Omega \subset \mathbb{R}^2$,

$$\sum_{i,j=1}^2 a_{ij} \frac{\partial^2}{\partial x_i \partial y_j} u + \sum_{i=1}^2 a_i \frac{\partial}{\partial x_i} u + a_0 u = f,$$

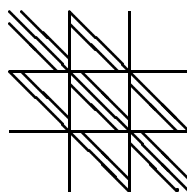
cu condițiile de frontieră $\partial\Omega = \Gamma_n \cup \Gamma_s$,

$$\frac{\partial}{\partial n} u + \alpha \frac{\partial}{\partial s} u + \beta u = \gamma \text{ on } \Gamma_n, \quad u = g \text{ on } \Gamma_s.$$

Caz: Ω =dreptunghi $\rightarrow A_h u_h = f_h$ cu A regular 7-diagonal



(a)

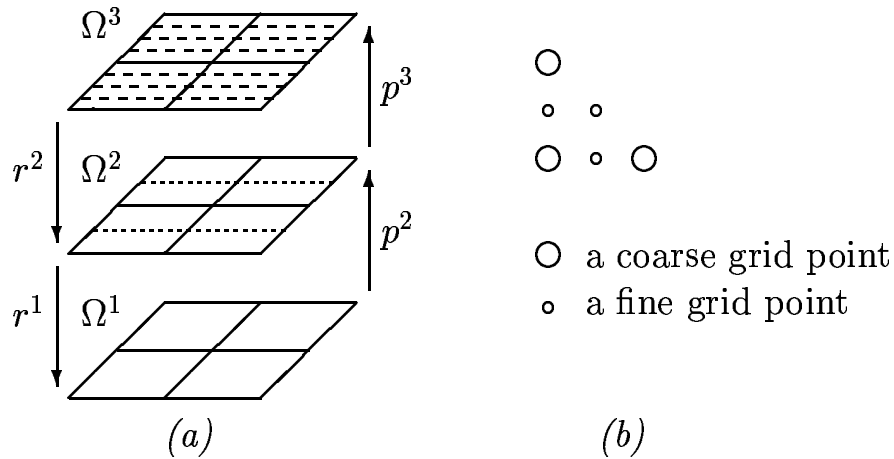


(b)

Grile: Ω^k , $k = \overline{1, l}$ obtained by

$$\Omega^k = \{(x_1, x_2) \mid x_i = x_0 + jh_i^k, j = \overline{0, 2^k}\} \quad h_i^{k-1} = 2h_i^k, \quad k = \overline{1, 2} \quad i \geq 1$$

Operatori de prelungire și restricție:



Ex: restricție

$$\begin{pmatrix} 1/2 & 1/2 & & \\ 1/2 & 1 & 1/2 & \\ & 1/2 & 1/2 & \end{pmatrix}.$$

Met. cu 2 nivele:

- relaxare cu met. GS.
- eroarea este transferată pe grila mai rară prin op. restricție.
- sistemul rezultat este rezolvat direct sau printr-o metodă de relaxare.
- corecția este transferată pe grila mai fină prin op. prelungire și adăugat aprox. existente.
- se aplică o metodă de relaxare.

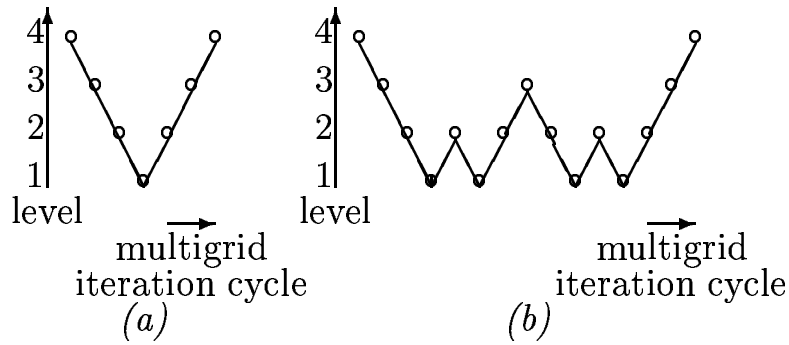
Ex 3: metoda multi-grilă pt. problema Poisson bi-dimensională

```

proc mgsc(level, A, u, f)
  if level = 1 then solve  $A^1 u^1 = f^1$  (solve directly)
  else
    do p times relax( $A^{level}, u^{level}, f^{level}$ ) (prerelax)
     $f^{level-1} \leftarrow r^{level-1}(f^{level} - A^{level} u^{level})$  (restrict the residual)
    (coarse grid-correction: recursive application of mgcs)
     $u^{level-1} \leftarrow 0$ 
    do  $\sigma$  times mgcs( $level - 1, A^{level-1}, u^{level-1}, f^{level-1}$ )
     $u^{level} \leftarrow u^{level} + p^{level} u^{level-1}$  (add prolongation of the correction)
    do q times relax( $A^{level}, u^{level}, f^{level}$ ) (post relaxation).
  
```

(p, σ , q) definesc strategia (nr. de prelexări, corecții și post-relaxări)

Ex: $l = 4, \sigma = 1 \rightarrow$ V-ciclu; $l = 4, \sigma = 2 \rightarrow$ W-ciclu.



Implementare paralelă

1. metodele de relaxare intrinseci pot fi paralelizate (ex: ordonare roșu-negru)
2. varianta 1: grila fină este distribuită între procesoare
3. varianta 2: grile distribuite între procesoare (efort nebalansat)
4. varianta 3: mai multe grile rare pentru fiecare grilă fină.
5. varianta 4: asincron – toate nivelele sunt activate simultan dar fiecare comunică ocazional cu cele învecinate.

2. Metoda elementului finit

Problema: ? $u \in H_0^1(\Omega)$:

$$a(u, v) = \langle f, v \rangle, \quad \text{for } v \in H_0^1(\Omega)$$

$$a(u, v) = \int_{\Omega} \sum_{i,j=1,2} a_{ij}(x) \frac{\partial}{\partial x_i} \frac{\partial}{\partial x_j} v(x) dx,$$

$$\langle w, v \rangle = \int_{\Omega} w(x)v(x) dx,$$

? u a.i.

$$\int_{\Omega} \nabla u(x, y) \cdot \nabla v(x, y) dx = \int_{\Omega} f(x, y)v(x, y) dx, \quad \forall v$$

$$\nabla u := i \frac{\partial u}{\partial x} + j \frac{\partial u}{\partial y}, \quad \nabla v := i \frac{\partial v}{\partial x} + j \frac{\partial v}{\partial y}.$$

Ω divizat într-un set de elemente.

(ex: caz bidimensional, triunghiuri, patrulatere etc)

Se consideră un subspațiu finit dimensional generat de polinoame Ω^h .

? $u^h \approx u$

$$\int_{\Omega^h} \nabla u^h(x) \cdot \nabla v^h(x) dx = \int_{\Omega^h} f(x)v^h(x) dx.$$

Se aleg

$$u^h(x, y) = \sum_{j=1}^n \alpha_j \Phi_j(x, y), \quad v^h(x, y) = \sum_{i=1}^{6n} \beta_i \Phi_i(x, y)$$

atunci

$$\sum_{i,j} \beta_i \alpha_j \int_{\Omega^h} \nabla \Phi_j(x) \cdot \nabla \Phi_i(x) dx = \sum_i \beta_i \int_{\Omega^h} f(x) \Phi_i(x) dx.$$

și se def.

$$k_{ij} = \int_{\Omega^h} \nabla \Phi_j(x) \cdot \nabla \Phi_i(x) dx, \quad f_i = \int_{\Omega^h} f(x) \Phi_i(x) dx$$

atunci

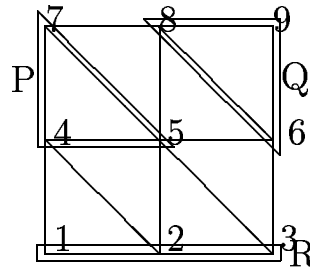
$$\sum_{ij} \beta_i (\alpha_j k_{ij} - f_i) = 0$$

adică trebuie rezolvat

$$\sum_j k_{ij} \alpha_j = f_i.$$

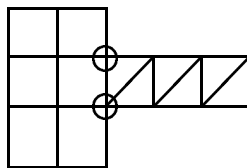
Exploatare paralelism: calcularea unor sisteme liniare în paralel, apoi asamblarea lor și soluționarea sistemului mare.

Ex: distribuția calculului pe 3 procesoare



3. Metoda descompunerii domeniului

Ex: domeniu descompus în 2 subdomenii (cu cercuri elemente de legătură)



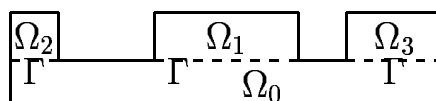
Se numerează pct. a.î. cele de interfață sunt ultimele.

Sistem liniar de rezolvat are matricea

$$\begin{pmatrix} A_1 & & C_1 \\ & A_2 & C_2 \\ D_1 & D_2 & B \end{pmatrix}$$

Idee: se fac presupuneri asupra pct. de legătură, se rezolvă (în paralel) sistemele subdomeniilor, se actualizează pct. de legătură, se reia procesul.

Ex. 2:



Metoda Schwarz aplicată la problema

$$F(u, x, y) = \frac{\partial u}{\partial x} - \varepsilon \left(\frac{\partial^2 u}{\partial x^2} + \frac{\partial^2 u}{\partial y^2} \right) = 0, \quad x, y \in [0, 1] \times [0, 1],$$

$$u(0, y) = u(x, 1) = 1, \quad u(x, 0) = 0, \quad \frac{\partial u}{\partial x}(1, y) = 0.$$

$$\Omega = \Omega_1 \cup \Omega_2 \cup \Omega_3, \quad \text{cu} \quad \begin{cases} \Omega_1 = [0, 1] \times [b, 1], \\ \Omega_2 = [0, r] \times [0, t], \quad b < t, \\ \Omega_3 = [l, 1] \times [0, t], \quad l < r. \end{cases}$$

Fie $u_1^{(0)} = u_2^{(0)} = u_3^{(0)} = 1$.

Se definesc șirurile $\{u^{(i)}\}$, $\{u_2^{(i)}\}$, $\{u_3^{(i)}\}$:

(a) $u_2^{(i)}$ rezolvă ec. de mai sus pe Ω_2 cu

$$\begin{cases} u_2^{(i)} = u_1^{(i)} & \text{on } [0, r] \times \{t\} \\ u_2^{(i)} = 1 & \text{on } \{0\} \times [0, t] \\ u_2^{(i)} = 0 & \text{on } [0, r] \times \{0\} \\ \frac{\partial}{\partial x} u_2^{(i)} = 0 & \text{on } \{r\} \times [0, t] \end{cases}$$

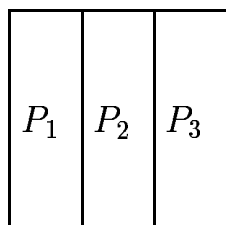
(b) $u_3^{(i)}$ rezolvă ec. pe Ω_3 cu

$$\begin{cases} u_3^{(i)} = u_2^{(i)} & \text{on } \{l\} \times [0, t] \\ u_3^{(i)} = u_1^{(i)} & \text{on } [l, 1] \times \{t\} \\ u_3^{(i)} = 0 & \text{on } [l, 1] \times \{0, t\} \end{cases}$$

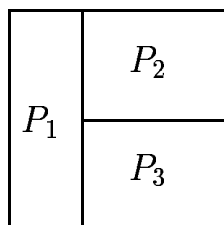
(c) $u_1^{(i)}$ rezolvă ecuația pe Ω_1 cu

$$\begin{cases} u_1^{(i)} = u_2^{(i)} & \text{on } [0, r] \times \{b\} \\ u_1^{(i)} = u_3^{(i)} & \text{on } [r, 1] \times \{b\} \end{cases}$$

Posibilități de partiționare a unui dreptunghi rectangular, între procesoare:



(a)



(b)